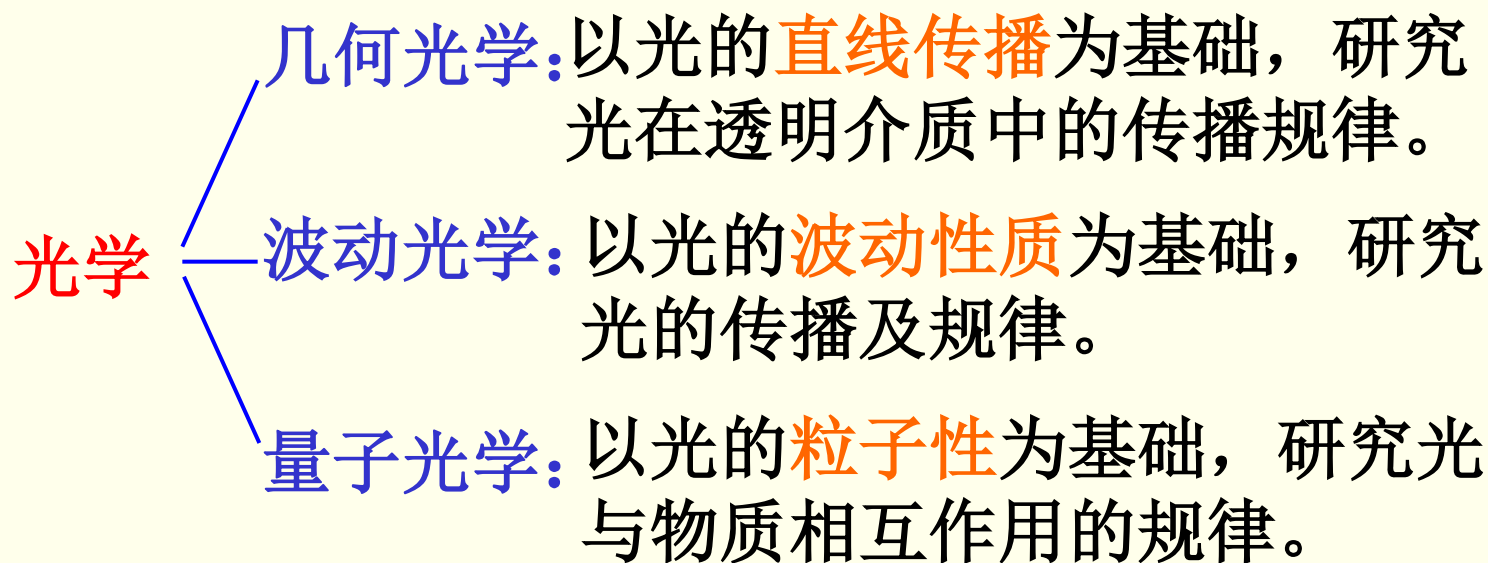
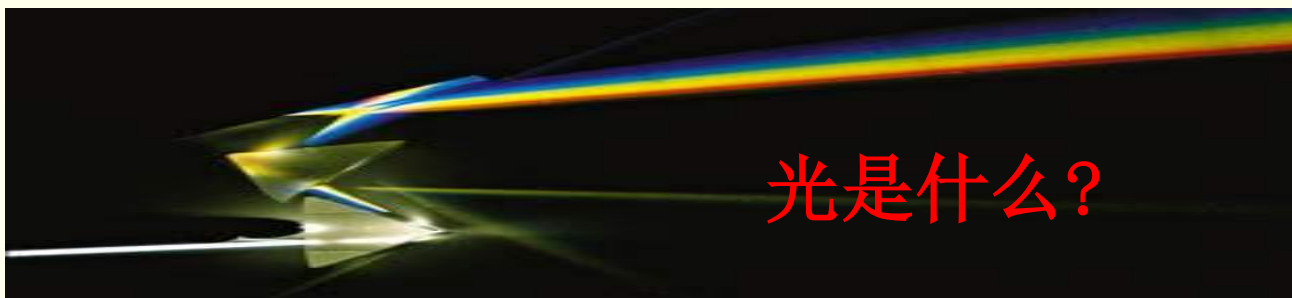


# 绪言

**光学：**研究光的本性、光的传播和光与物质相互作用等规律的学科。



# 光学发展史



## 一、几何光学时期

早在我国先秦时代（公元前400—382年），《墨经》中就详细论述了光的直线传播、光的反射以及平面镜、凹面镜和凸面镜的成像规律。而在之后约一百年，古希腊的欧几里德也专门著书《光学》，对人眼为何能看到物体、光的反射性质、球面镜焦点等问题进行了探讨。

## 二、光的微粒说和波动说



牛顿(Newton)

光是一种粒子!

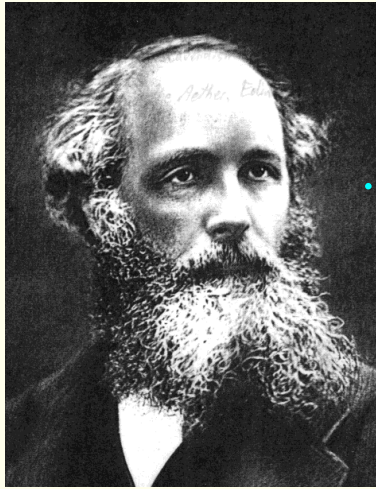
光是一种波!



惠更斯(Huygens)

1668年英国科学家牛顿（Newton）提出光的**微粒说**，  
1678年荷兰物理学家惠更斯（Huygens）提出光的**波动说**。

### 三、光的电磁学说



麦克斯韦 (Maxwell)

光是一种电磁波。

你的预言是对的！

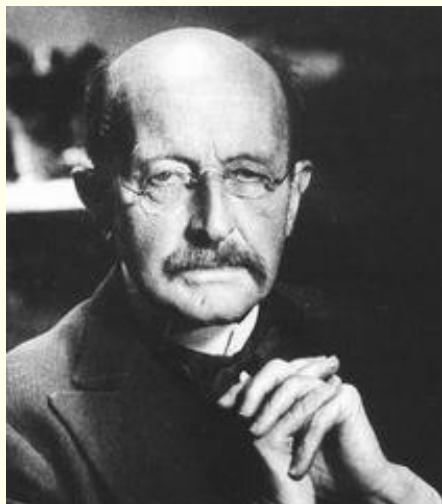


赫兹 (Hertz)

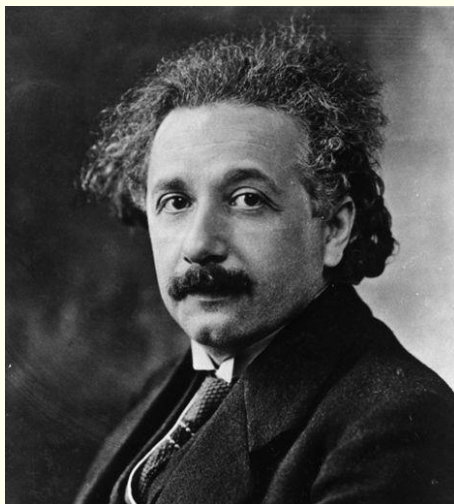
1862年，麦克斯韦总结出麦克斯韦方程组，得出电磁波在真空中传播的速度等于光速  $c$ ，从而预言光是一种电磁波。1888年赫兹用实验证实了麦克斯韦的预言。

## 四、量子光学时期

19世纪末到20世纪初，一些新的实验，如**热辐射**、**光电效应**和**康普顿效应**等，用经典电磁波理论都无法解释。



普朗克 (Planck)



爱因斯坦 (Einstein)



康普顿 (Compton)

1900年**普朗克**提出辐射能量的量子化理论，成功地解释了黑体辐射问题。1905年**爱因斯坦**提出光量子理论，圆满地解释了光电效应。爱因斯坦的结论于1923年被**康普顿**的散射实验所证实。

从光学发展史可以看出，光的干涉、衍射、偏振等现象证实了光的波动性，而黑体辐射、光电效应和康普顿效应等又证实了光的微粒性，**光具有“波粒二相性”**。

**（Wave-particle duality）**。

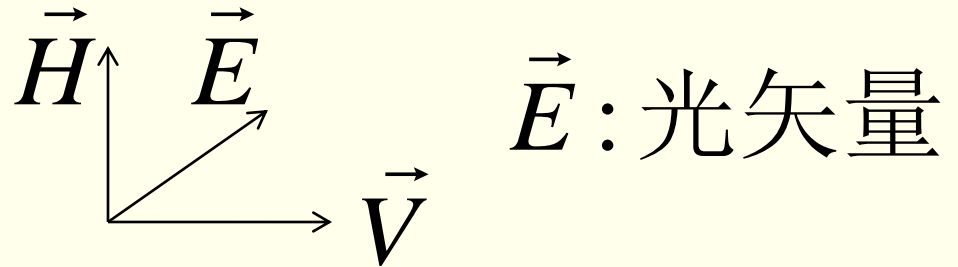
本部分讨论**光的波动性**。即主要研究光的干涉、衍射、偏振等问题。

# 第 19 章 光的偏振



# 第 19 章 光的偏振

## 19-1 原子发光模型



### 一、光源和光谱

光源: 用作发射光的物体

一般光的频率不是单一的

可见光的波长  $4000 \overset{\circ}{\text{A}} - 7600 \overset{\circ}{\text{A}}$

$\overset{\circ}{\text{A}}$ : 长度单位

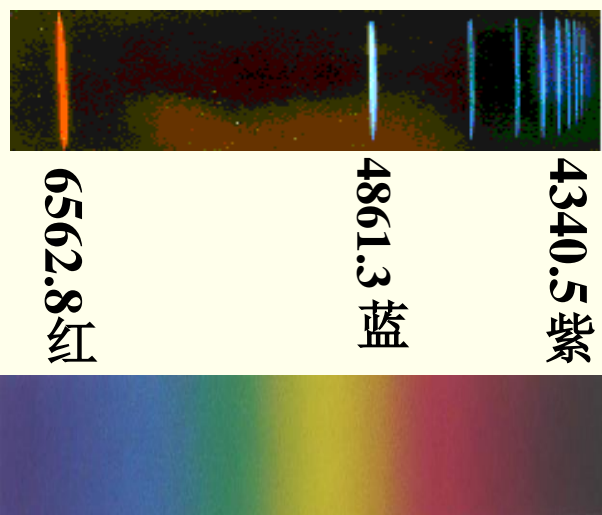
纪念瑞典物理学家埃斯特朗(1814-1874)而定



其频率范围： $7.7 \times 10^{14} - 3.9 \times 10^{14} \text{ Hz}$

光谱: 光的强度按频率（或波长）的分布

光源种类: 1、线谱光源，如气体放电管、钠光灯、水银灯、日光灯等；



2、连续谱光源（或热辐射光源）  
如白炽灯、弧光灯、太阳等。

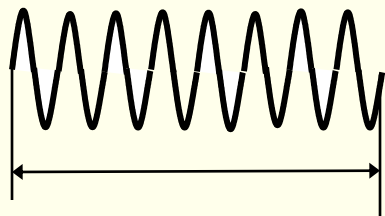
## 二、原子的发光模型

经典电磁理论：阻尼振荡偶极子，不对。

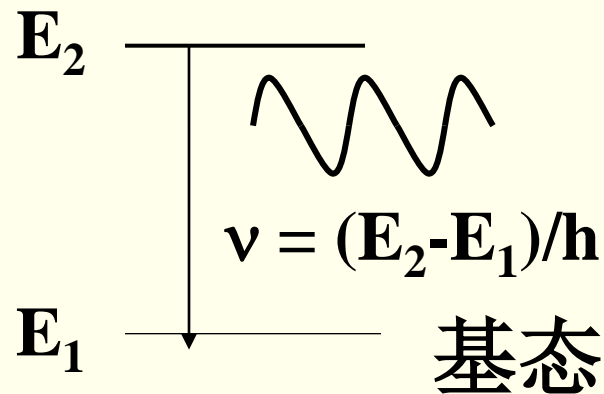
近代物理：能级  $\equiv$  激发态

$h$  普朗克常数

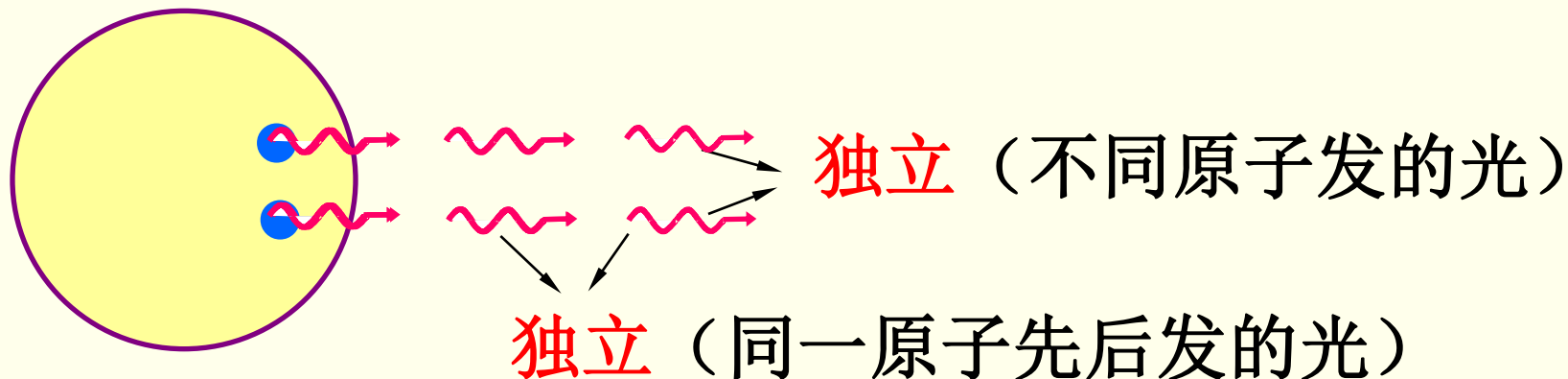
← 波列 →



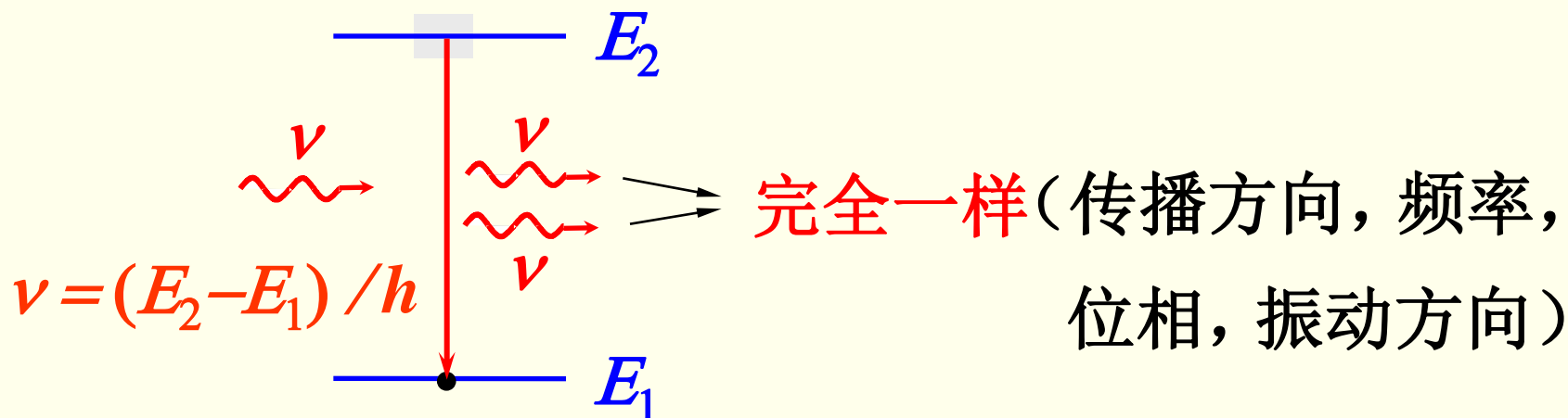
$$\Delta x = c\Delta t$$



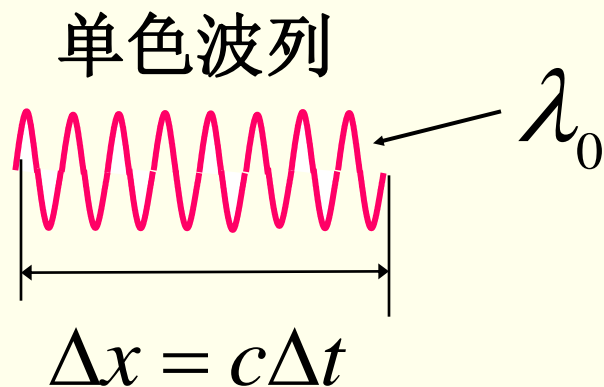
## 1、普通光源：自发辐射



## 2、激光光源：受激辐射

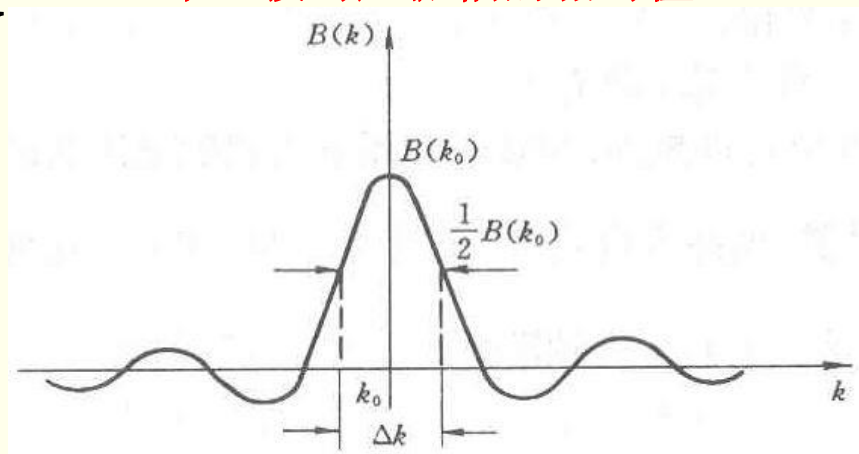


## 19-2 光波列的频谱宽度



$\Delta k$  : 频谱宽度

波列所包含的不同波长  
单色波对应振幅的相对值。



$$k_0 = \frac{2\pi}{\lambda_0} \quad k = \frac{2\pi}{\lambda}$$

波矢

傅里叶积分证明:  $\Delta x \cdot \Delta k \approx 2\pi$

$$|\Delta k| = \Delta \left| \frac{2\pi}{\lambda} \right| = \frac{2\pi}{\lambda^2} |\Delta \lambda| \quad \therefore \Delta x \cdot \Delta \lambda \approx \lambda^2$$

$$\Delta x = c \Delta t$$

$$\Delta x \cdot \Delta k \approx 2\pi$$

$$\Delta k = \Delta\left(\frac{2\pi\nu}{\lambda\nu}\right) = \frac{2\pi}{c} \Delta\nu$$

$$\Delta x \cdot \Delta k = 2\pi \Delta t \cdot \Delta\nu \approx 2\pi \Rightarrow \Delta t \cdot \Delta\nu \approx 1$$

$\Delta t$  为该波列的发光时间

$$\Delta x \rightarrow \infty, \Delta\lambda \rightarrow 0$$

单色性愈好

$$or \quad \Delta t \rightarrow \infty, \Delta\nu \rightarrow 0$$

$$\nu = \frac{E_2 - E_1}{h} \quad \text{中心频率}$$

谱线自然宽度

1. 碰撞  $\Delta t \downarrow \rightarrow$  谱线宽度  $\uparrow$

2. 多普勒效应  $\rightarrow$  谱线宽度  $\uparrow$

对于可见光，谱线自然宽度估算：

$$\Delta t \approx 10^{-8} \text{ s} \quad \Delta \nu \approx \frac{1}{\Delta t} = 10^8 \text{ Hz}$$

$$\nu = 10^{14} \text{ Hz}$$

$$\frac{\Delta \nu}{\nu} \approx 10^{-6}$$

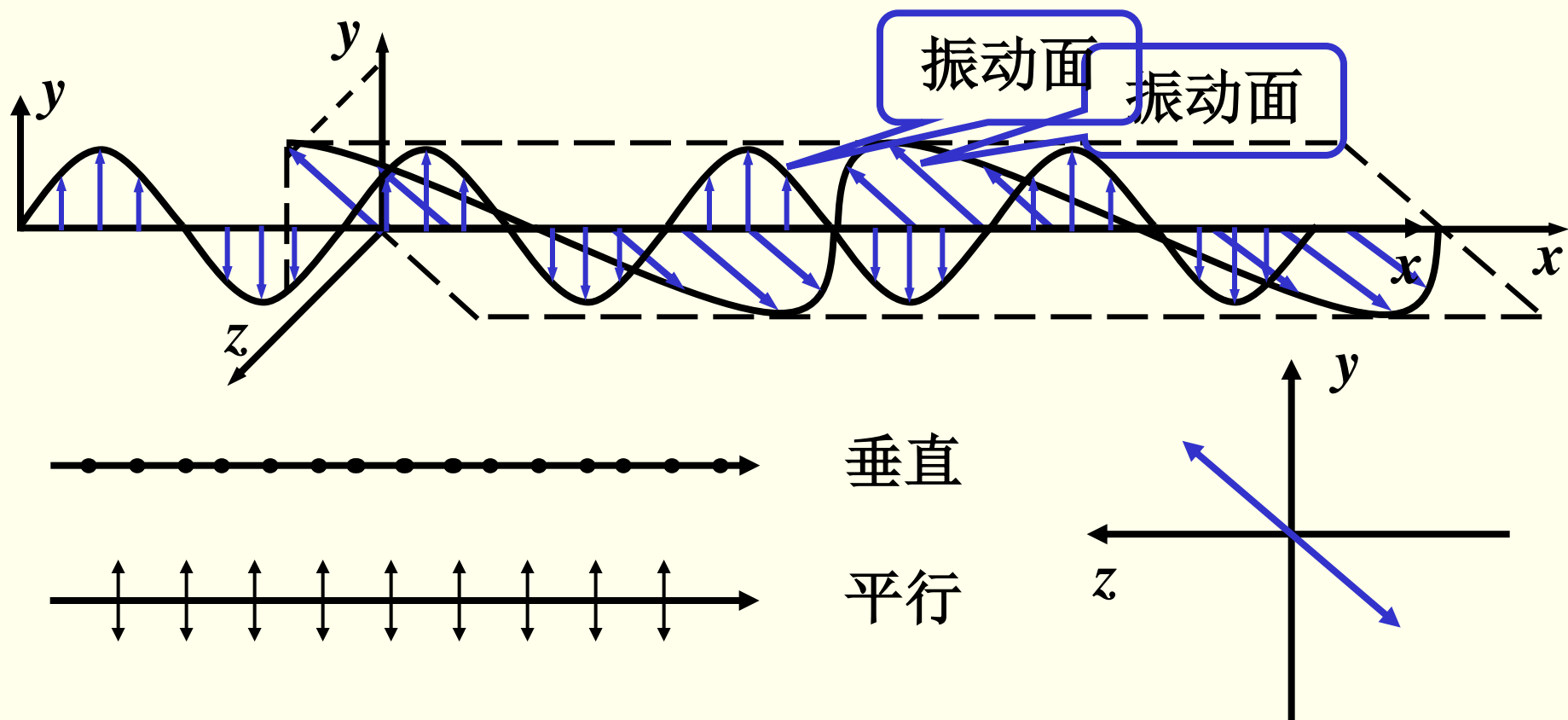
$$\text{碰撞+多普勒效应} \Rightarrow \frac{\Delta \nu}{\nu} \approx 10^{-5} \sim 10^{-3}$$

# 19-3 光的偏振状态

## 一、完全偏振光

### 1、线偏振光（平面偏振光）

光矢量在传播中始终保持在一个固定平面上振动。



沿  $y$ - $z$  平面内任一方向振动的线偏振光

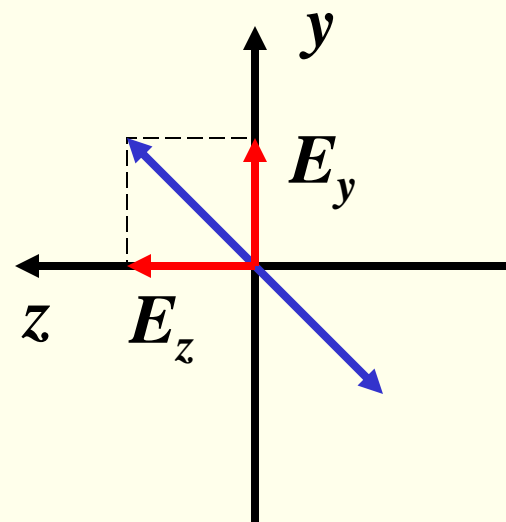


二个相互垂直、同频率、同相位（或相位差为 $\pi$ ）的线偏振光的叠加

$$E_y = E_{y0} \cos[\omega t - kx + \varphi]$$

$$E_z = E_{z0} \cos[\omega t - kx + \varphi]$$

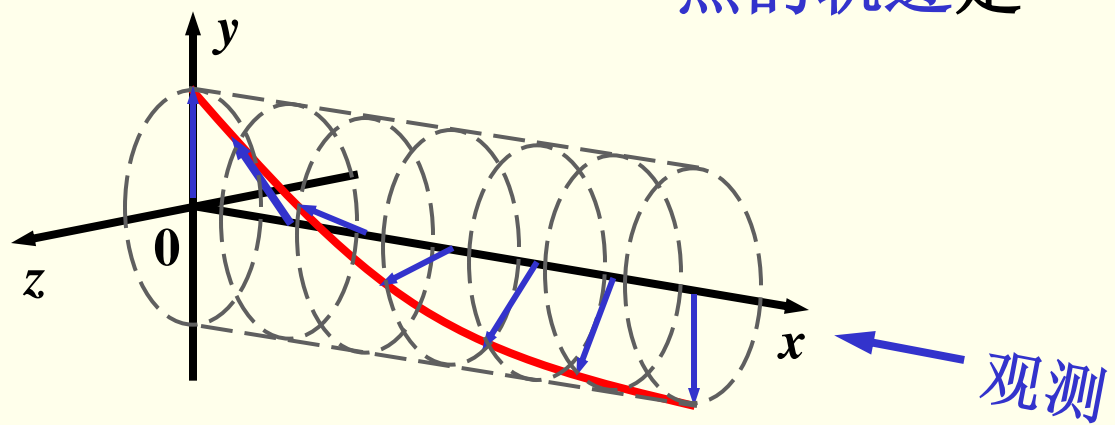
$$\vec{E} = E_y \vec{j} + E_z \vec{k}$$



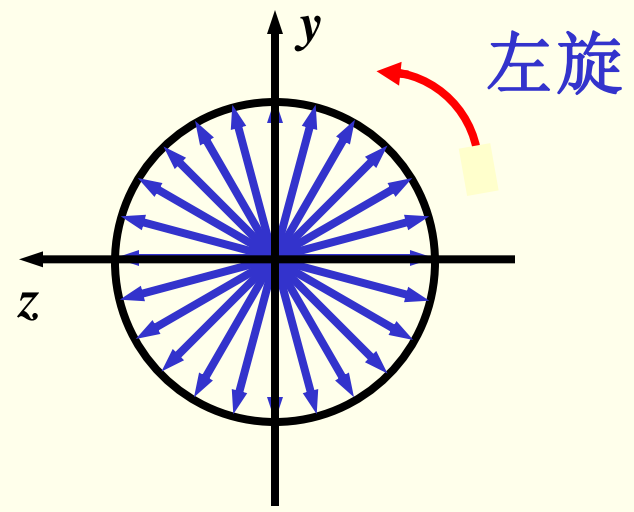
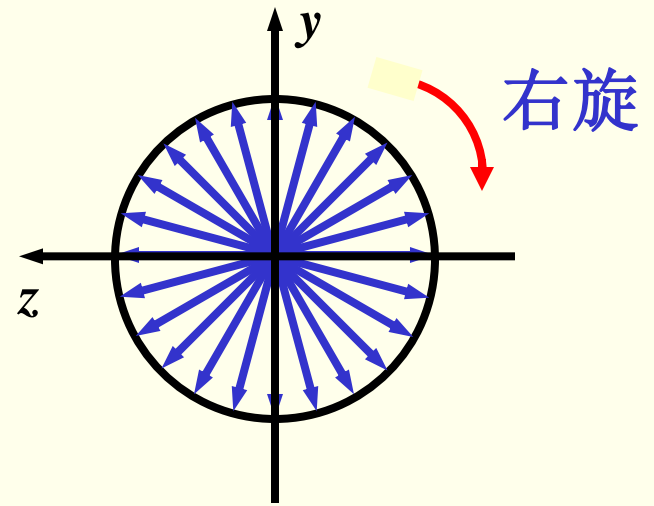
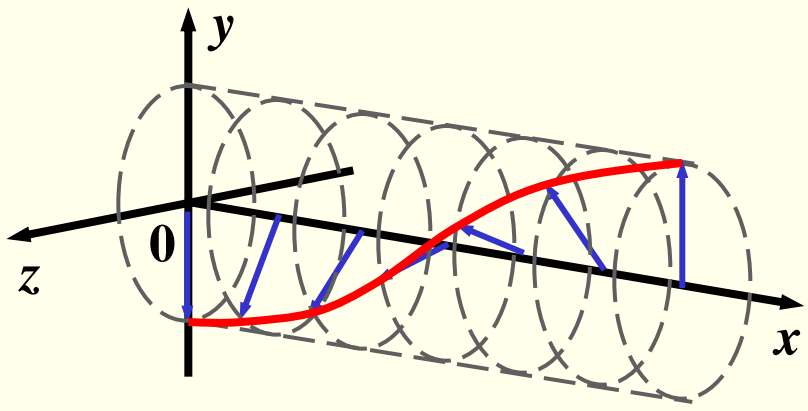


## 2、圆（椭圆）偏振光

光矢量绕着光的传播方向**旋转**，其旋转角速度对应光的角频率；光矢量**端点的轨迹**是一个**圆（椭圆）**。



某时刻右旋圆偏振光  $E$  随  $x$  的变化



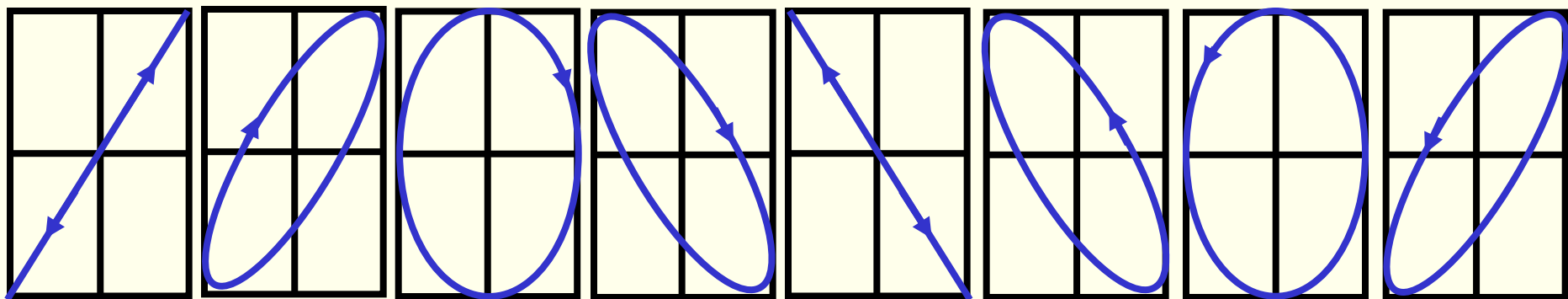
## 圆（椭圆）偏振光

二个相互垂直、同频率、相位差确定的线偏振光的叠加

$$E_y = E_{y0} \cos[\omega t - kx + \varphi_1]$$

$$E_z = E_{z0} \cos[\omega t - kx + \varphi_2]$$

$$\Delta\varphi = \varphi_2 - \varphi_1$$



$$\Delta\varphi = 0 \quad \Delta\varphi = \frac{\pi}{4} \quad \Delta\varphi = \frac{\pi}{2} \quad \Delta\varphi = \frac{3\pi}{4} \quad \Delta\varphi = \pi \quad \Delta\varphi = \frac{5\pi}{4} \quad \Delta\varphi = \frac{3\pi}{2} \quad \Delta\varphi = \frac{7\pi}{4}$$

当  $\Delta\varphi \neq 0, \pi$  时为椭圆偏振光

当  $\Delta\varphi = \pm \frac{\pi}{2}$ ，且振幅相等时为圆偏振光

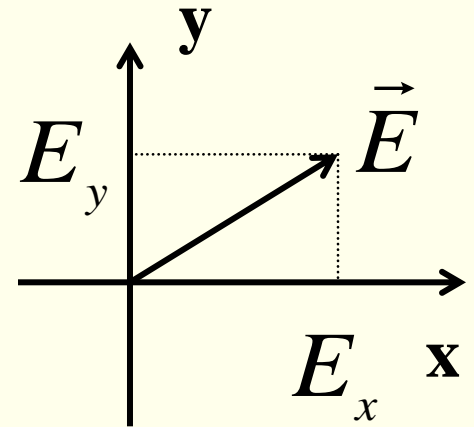
线、圆和椭圆偏振光——完全偏振光

## 二、完全非偏振光——自然光

每个原子发射的光波列为一线偏振光，  
无数线偏振光无规则的集合——自然光。

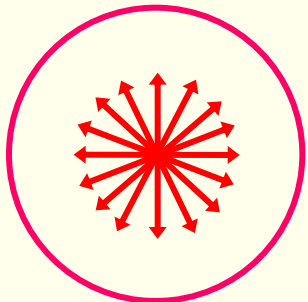
自然光的强度具有轴对称分布

$$I = \sum_i I_i = \sum_i \sqrt{\frac{\epsilon_0}{\mu_0}} \overline{E_i^2} = \sqrt{\frac{\epsilon_0}{\mu_0}} \sum_i (\overline{E_{ix}^2} + \overline{E_{iy}^2})$$
$$I_x = \sqrt{\frac{\epsilon_0}{\mu_0}} \sum_i \overline{E_{ix}^2} \quad I_y = \sqrt{\frac{\epsilon_0}{\mu_0}} \sum_i \overline{E_{iy}^2}$$

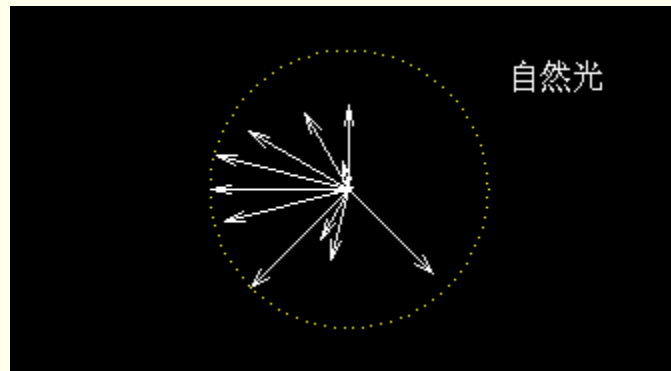


$$\sum_i \overline{E_{ix}^2} = \sum_i \overline{E_{iy}^2}$$

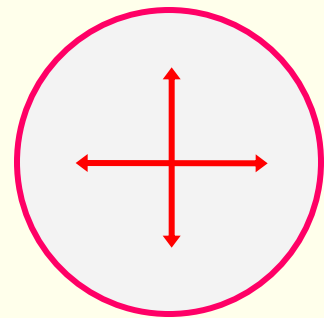
$$\therefore I_x = I_y$$



没有优势方向



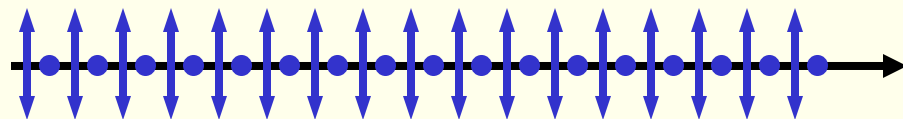
$$I = I_x + I_y, I_x = I_y = \frac{1}{2} I$$



自然光的分解

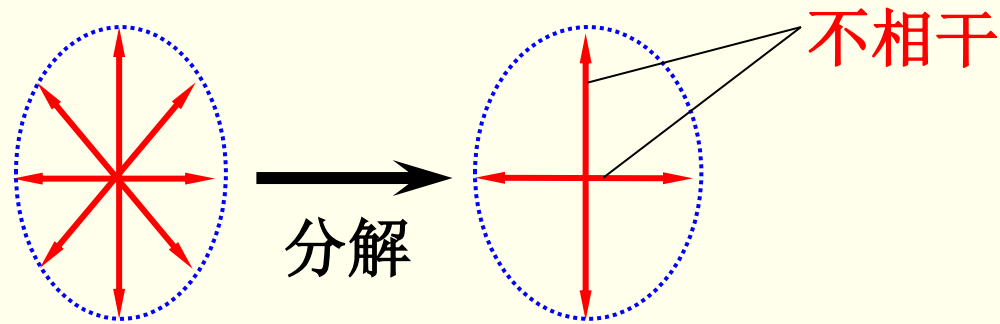
一束自然光可分解为两束振动方向相互垂直的、等幅的、不相干的线偏振光。

自然光的图示

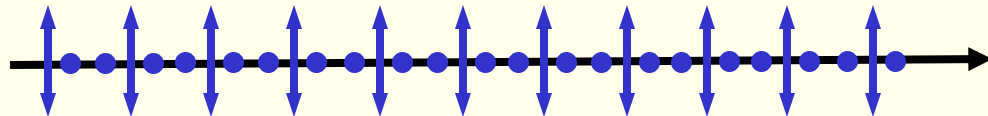


### 三、部分偏振光

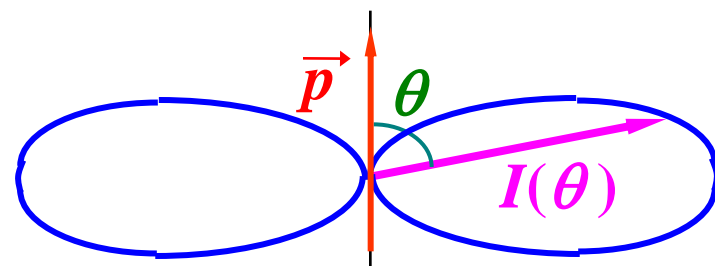
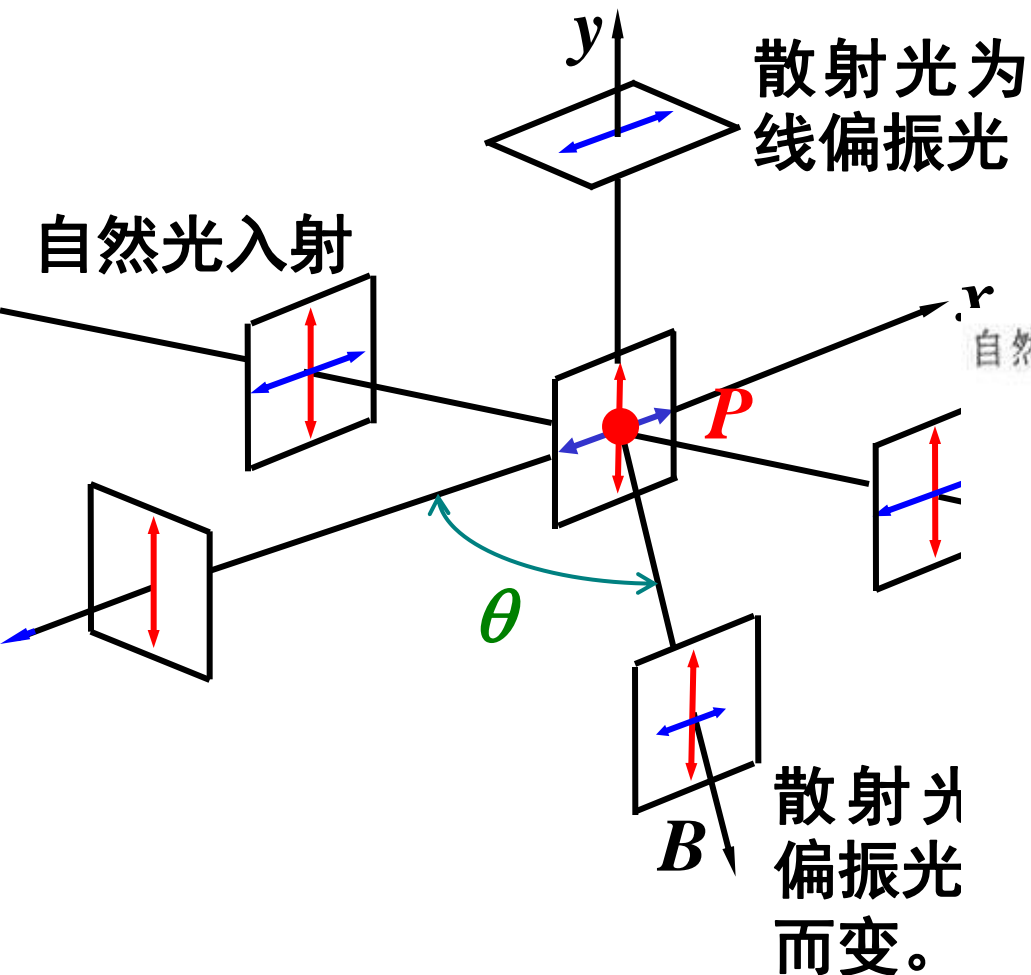
部分偏振光可看成是自然光和线偏振光的混合，天空中的散射光和水面的反射光就是这种部分偏振光，其光强的分布不是轴对称，而是在某方向上占优势。它可以分解如下：



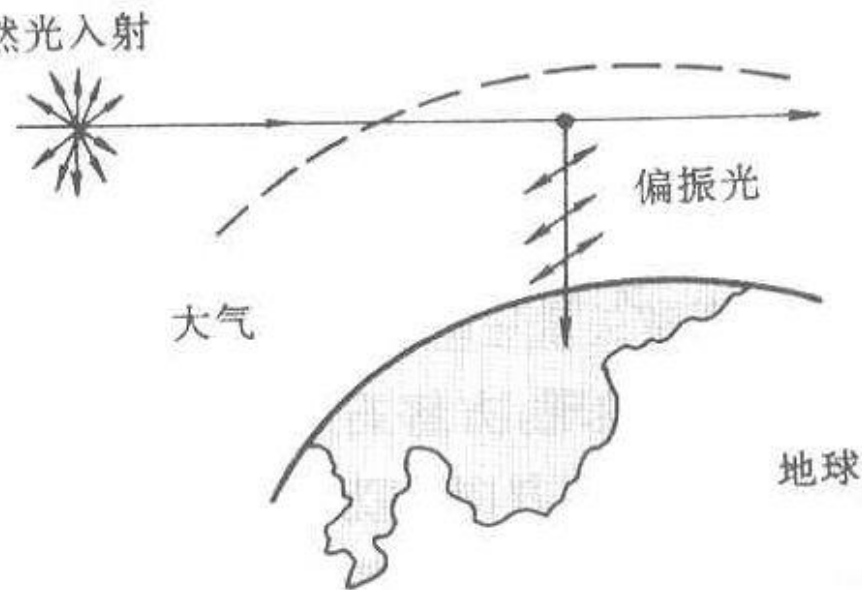
部分偏振光的图示



## 散射光的偏振



振荡电偶极子电磁  
辐射强度的角分布



## 19-4 偏振片 马吕斯定律

把自然光变成线偏振光——起偏

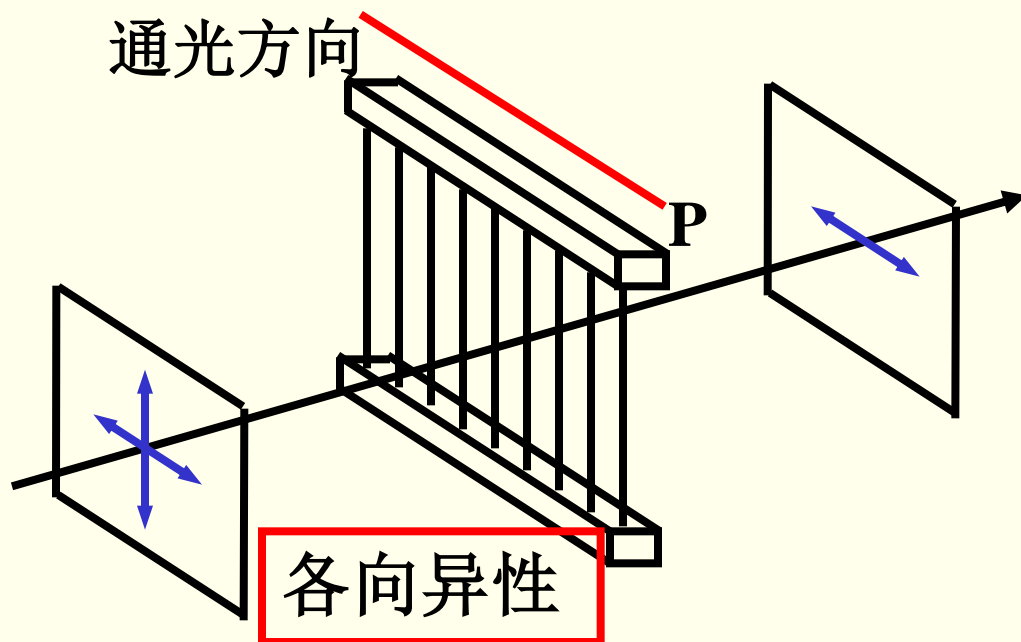
方法：偏振片、利用光的反射与折射等

### 一、偏振片

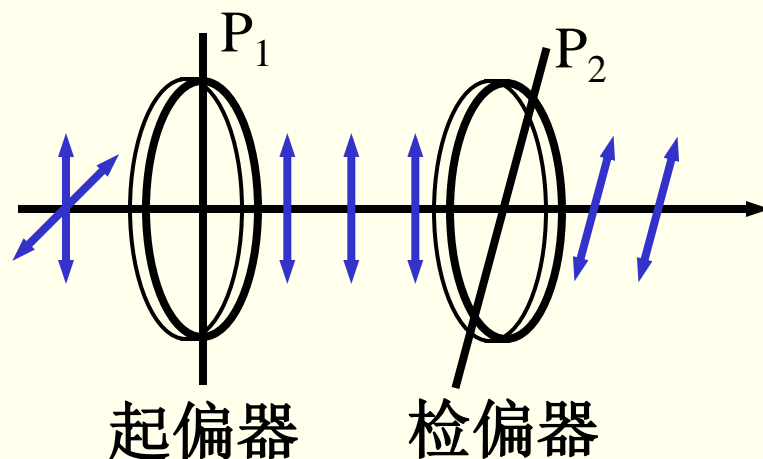
利用媒质的某种**光学不对称性**制成的光学元件。

聚乙烯醇薄膜浸碘、拉伸并烘干。拉伸方向——消光方向，  
偏振化方向与其垂直

通光方向



偏振片的通光方向 (P)  
称为**偏振化方向**



## 二、马吕斯 (Malus) 定律 (1809)

考虑线偏振光  $E = E_0 \cos(\omega t - kx)$  经过一偏振片

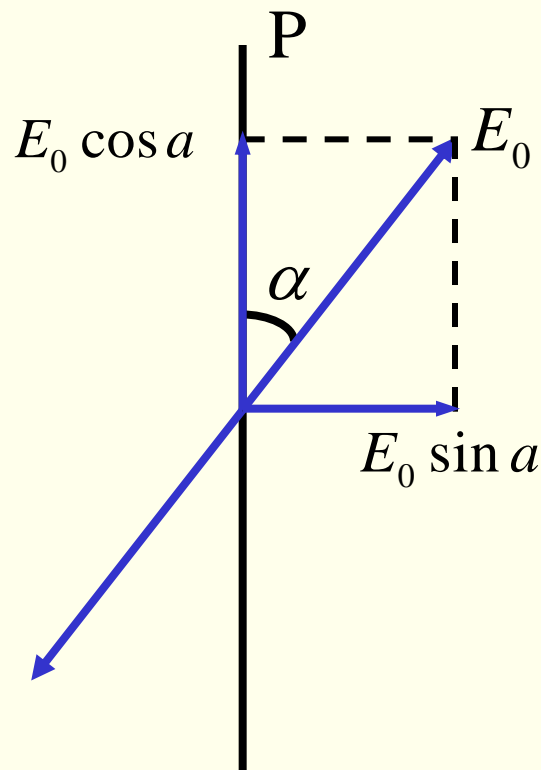
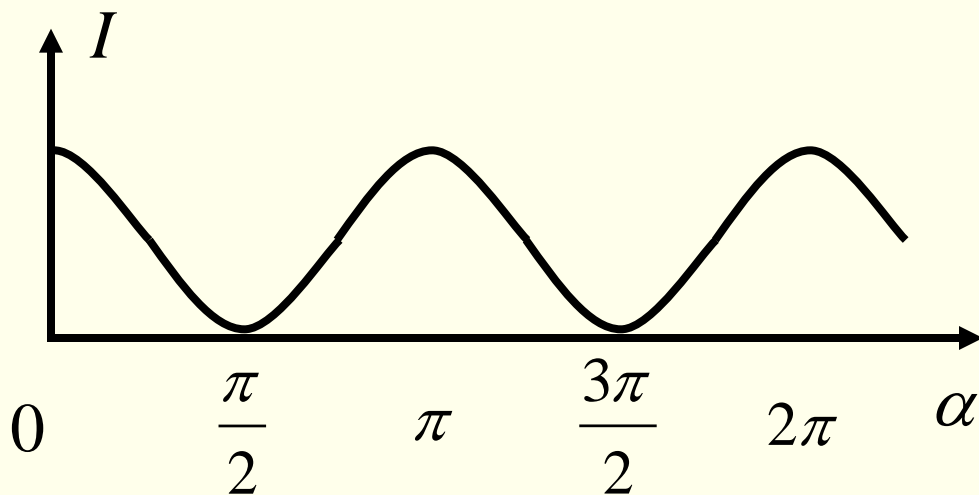
只有  $E_0 \cos \alpha$  分量可通过

$$\therefore I = E_0^2 \cos^2 \alpha = I_0 \cos^2 \alpha$$

➤ 马吕斯定律

$$I = I_0 \cos^2 \alpha$$

自然光入射，出射光强为  $I = \frac{I_0}{2}$

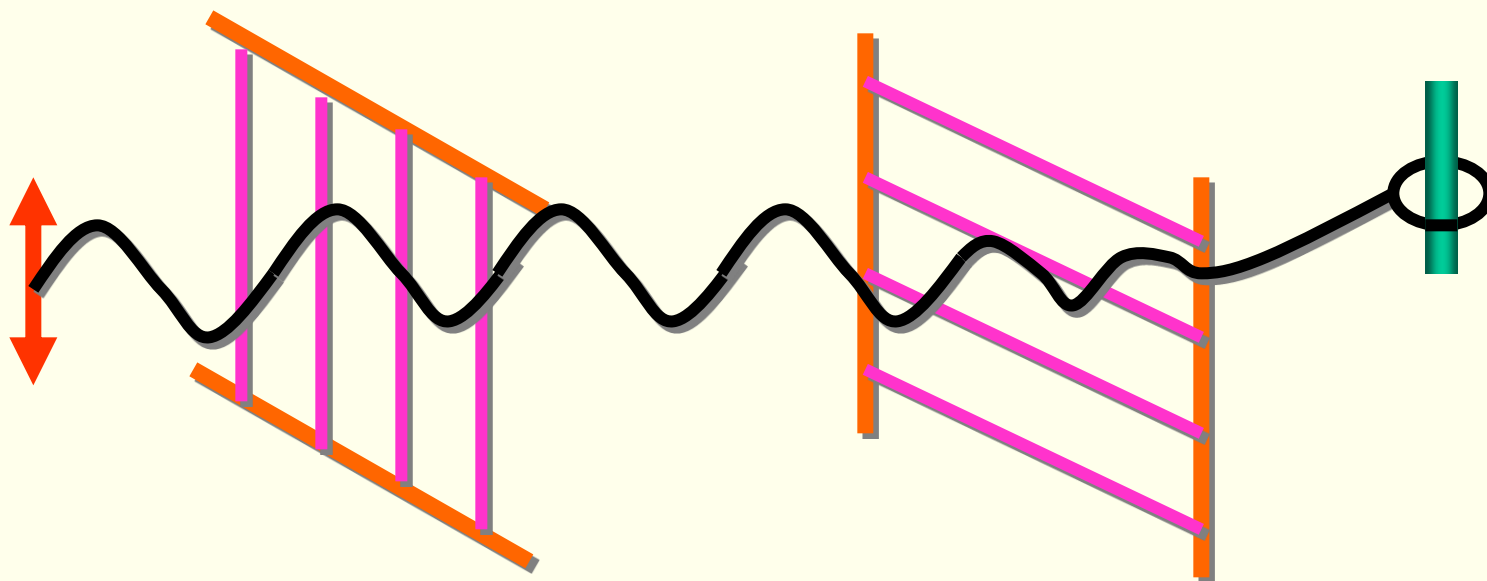


消光位置

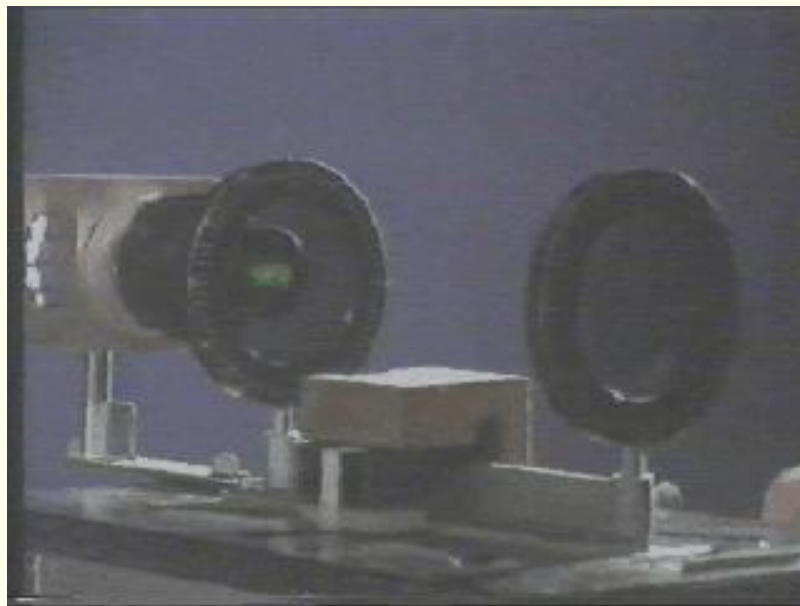
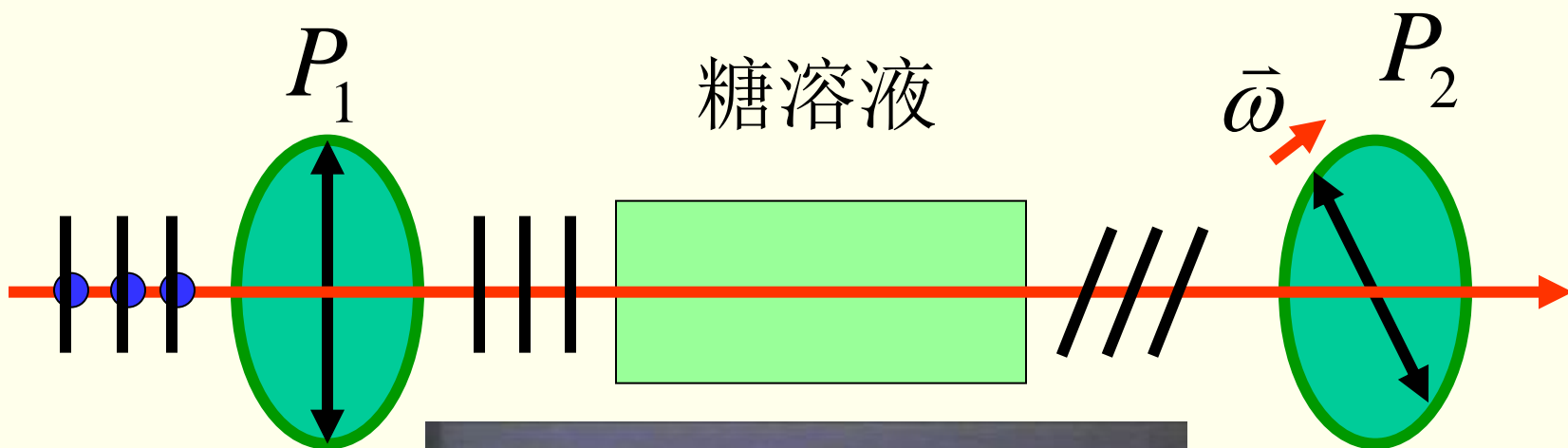




## \*\*机械波通过狭缝\*\*



# \*\*旋光现象\*\*

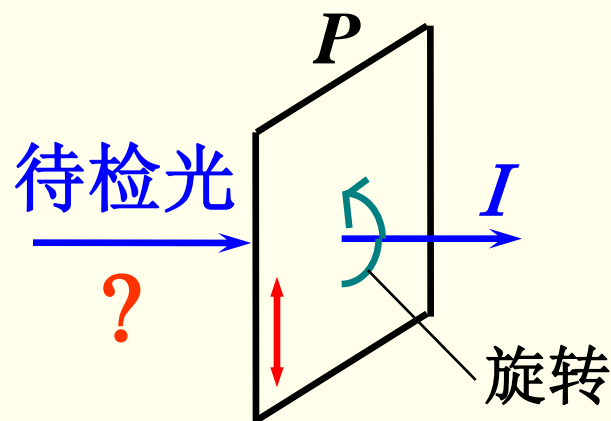


### 三、线偏振光的检偏

**检偏：**用偏振器件检验光的偏振态

设入射光可能是**自然光** 或

**线偏振光** 或由线偏振光与自然光混合而成的**部分偏振光**



- 若  $I$  不变，是什么光？
- 若  $I$  变，有消光，是什么光？
- 若  $I$  变，无消光，是什么光？

## 四、偏振片的应用

偏振片的应用很多，例如：

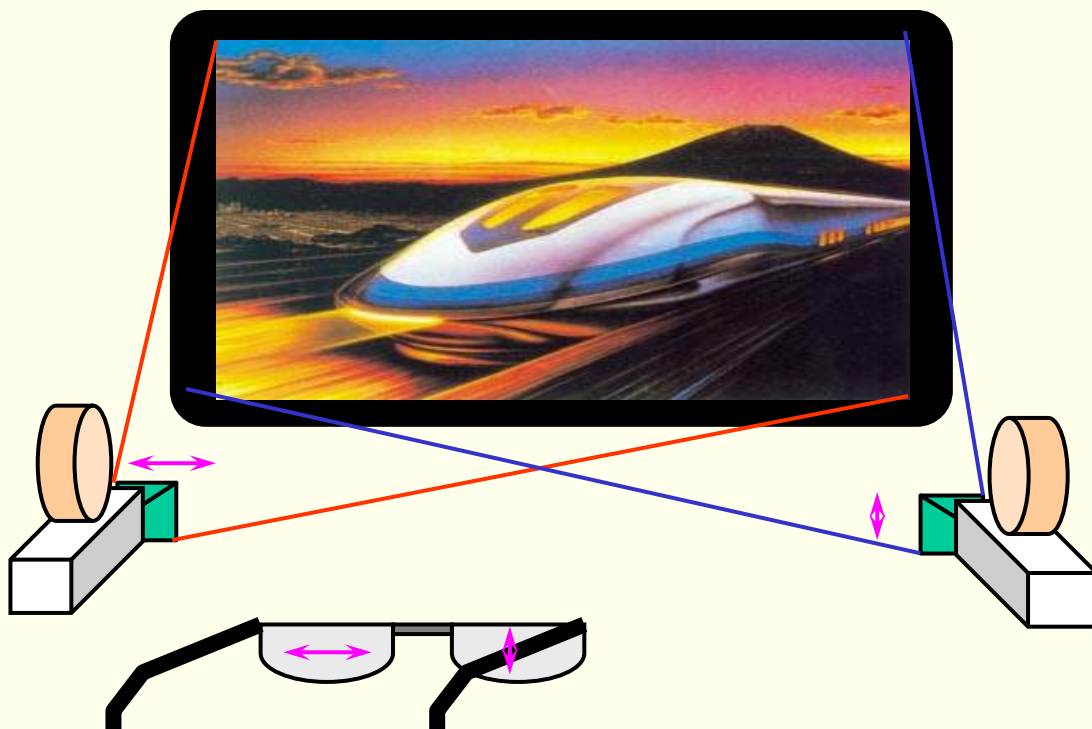
- 作为许多光学仪器中的起偏和检偏装置。
- 作为照相机的滤光镜，可以滤掉不必要的反射光。



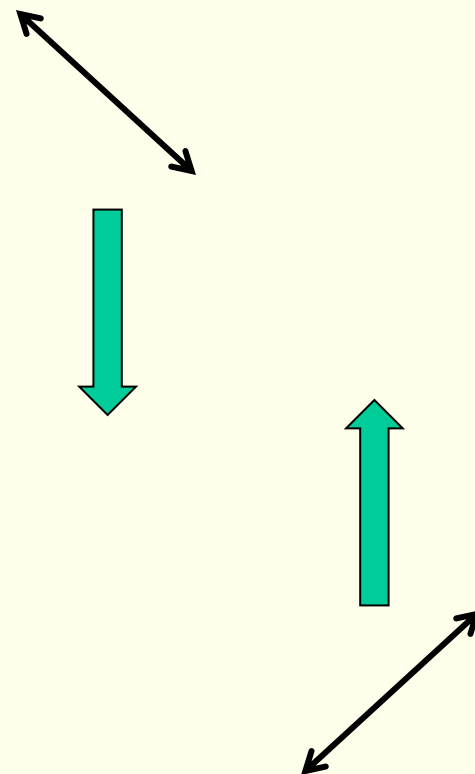
相机镜头加偏振片前后照片对比

- 制成偏光眼镜，可观看立体电影。

拍摄立体电影时，用两个摄影机同时分别拍下同一物体的两个画像，放映时把两个画像同时映在银幕上。每个放映机镜头上放一个偏振片，两个偏振片的偏振化方向相互垂直，观众戴上用偏振片做成的眼镜观看。

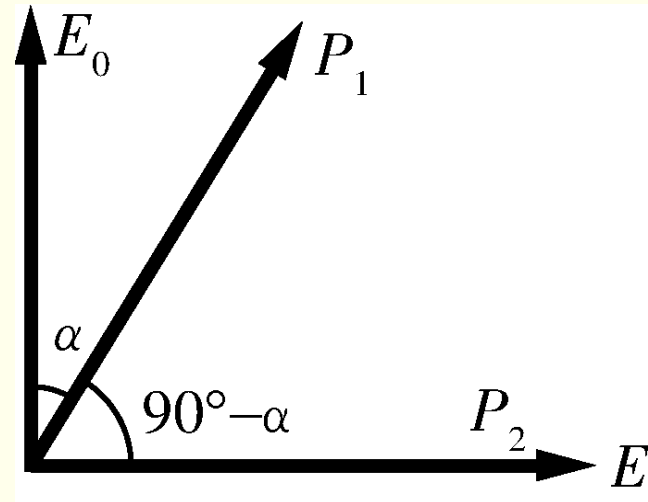


● 驾驶室的前窗玻璃和车灯的玻璃罩都装有偏振片，而且规定它们的偏振化方向都沿同一方向并与水平面成 $45^\circ$ 角，那么，司机从前窗只能看到自己的车灯发出的光，而看不到对面车灯的光，这样，汽车在夜间行驶时，既不要熄灯，也不要减速，可以保证安全行车。



[例] 要使一束线偏振光通过偏振片后振动方向转过 $90^\circ$ ，至少需要让这束光通过几块理想偏振片？在此情况下，透射光强最大是原来光强的多少倍？

解 至少需要两块理想偏振片,如右图所示。其中 $P_1$ 透光轴与线偏振光振动方向的夹角为 $\alpha$ ，第二块偏振片透光轴与 $P_1$ 透光轴夹角为 $(90^\circ - \alpha)$ 。设入射线偏振光原来的光强为 $I_0$ ，则透射光强



$$I = I_0 \cos^2 \alpha \cos^2 (90^\circ - \alpha) = I_0 \cos^2 \alpha \sin^2 \alpha = \frac{I_0}{4} \sin^2 2\alpha$$

$$\text{当 } \alpha = 45^\circ \text{ 时, } I = I_{\max} = \frac{I_0}{4}$$

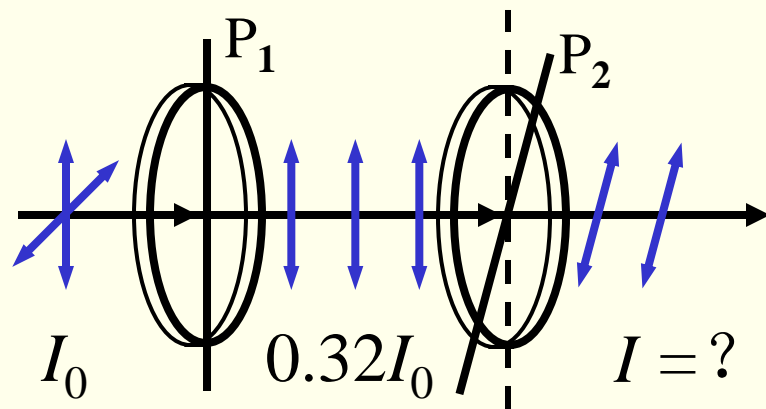
[例] 两块性质完全相同的偏振片平行放置，其通光方向 $P_1$ 、 $P_2$ 间夹角为 $\pi/6$ 。光强为 $I_0$ 的自然光垂直入射，经过第一块偏振片后的光强为 $0.32I_0$ ，求经过第二块偏振片后的出射光强。

解：经 $P_1$ 后光强小于 $0.5I_0$ ，说明偏振片有吸收。

透过率为  $\gamma = \frac{0.32I_0}{0.5I_0} = 0.64$

由马吕斯定律，通过 $P_2$ 后的出射光强为

$$I = \gamma I_1 \cos^2 \alpha = 0.64 \times 0.32I_0 \cos^2 30^\circ = 0.15I_0$$





[例] 一束光是自然光和线偏振光的混合光，当它垂直通过一偏振片后，随着偏振片的偏振化方向取向的不同，出射光强度可以变化 5 倍。问：入射光中自然光与线偏振光的强度各占入射光强度的百分比为多少？

解：由马吕斯定律 
$$I_{\text{出}} = \frac{1}{2} I_0 + I_1 \cos^2 \alpha$$

式中  $I_0$ 、 $I_1$  分别为入射光中自然光与线偏振光的强度

由题意可知 
$$I_{\text{max}} = \frac{1}{2} I_0 + I_1 \quad I_{\text{min}} = \frac{1}{2} I_0 \quad \frac{I_{\text{max}}}{I_{\text{min}}} = 5$$

解得：  $I_1 = 2I_0$

自然光所占百分比： 
$$\frac{I_0}{I_0 + I_1} = \frac{I_0}{3I_0} = \frac{1}{3}$$

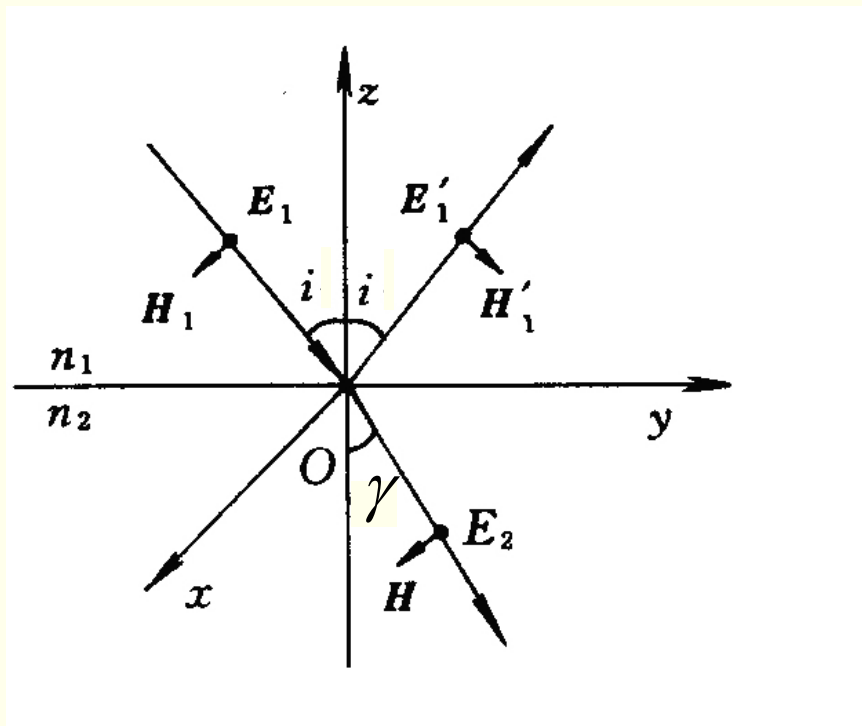
线偏振光所占百分比： 
$$\frac{I_1}{I_0 + I_1} = \frac{2I_0}{3I_0} = \frac{2}{3}$$

# 19-5 反射和折射时的偏振光

## 一、菲涅耳公式

法国的**菲涅耳**从理论上导出了反射光和透射光的相对振幅。

光矢量垂直于入射面：

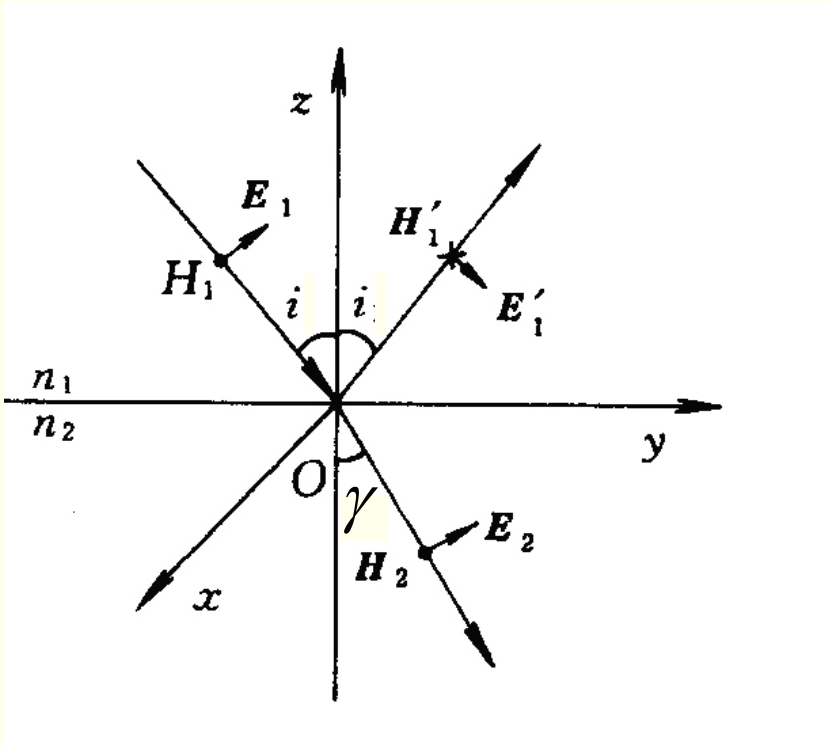


菲涅耳

振幅反射率

$$r_{\perp} = \frac{E_1'}{E_1} = -\frac{\sin(i - \gamma)}{\sin(i + \gamma)}$$

光矢量平行于入射面：



振幅反射率

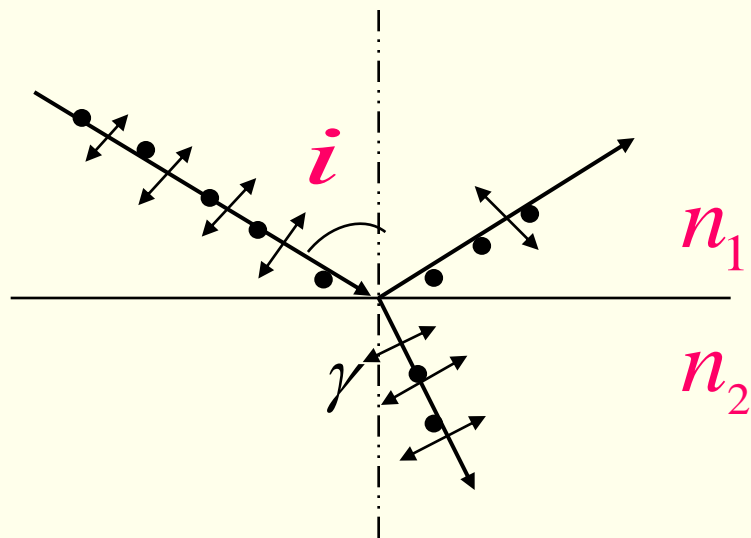
$$r_{//} = \frac{E'_1}{E_1} = -\frac{\tan(i - \gamma)}{\tan(i + \gamma)}$$

$$i + \gamma = \frac{\pi}{2} \Rightarrow \tan(i + \gamma) \rightarrow \infty$$

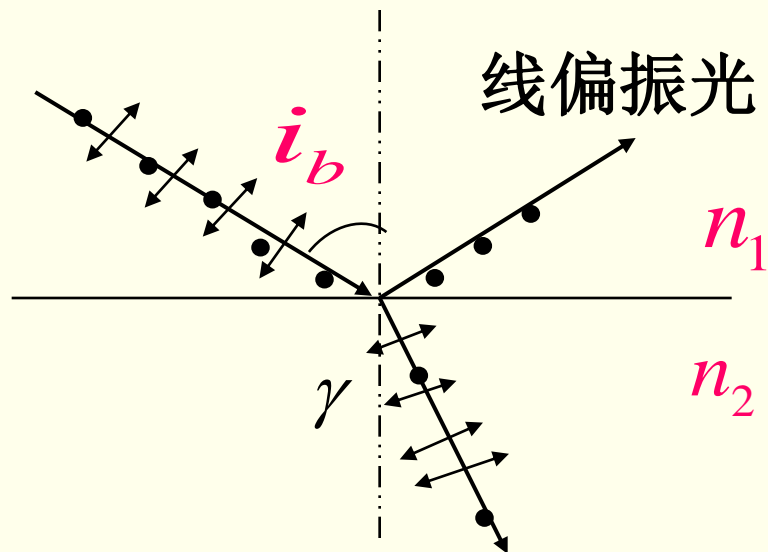
$$r_{//} \rightarrow 0$$

## 二、由反射获得偏振光(布儒斯特定律)

在理论上，布儒斯特定律可由菲涅耳公式导出，但这个定律是布儒斯特在菲涅耳公式提出之前由实验发现的。



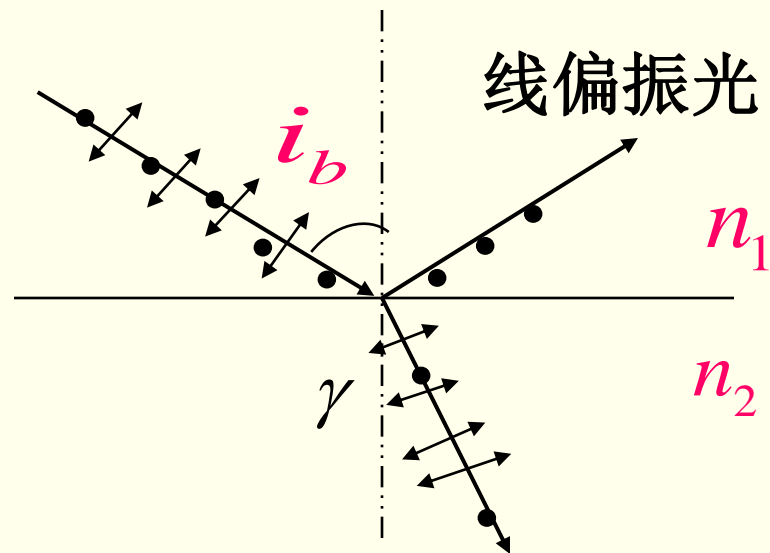
自然光反射和折射  
后产生部分偏振光



起偏角

$i_b$ : 起偏角, 或称布儒斯特角。  $i_b + \gamma = \frac{\pi}{2}$

$$i_b + \gamma = \frac{\pi}{2}$$



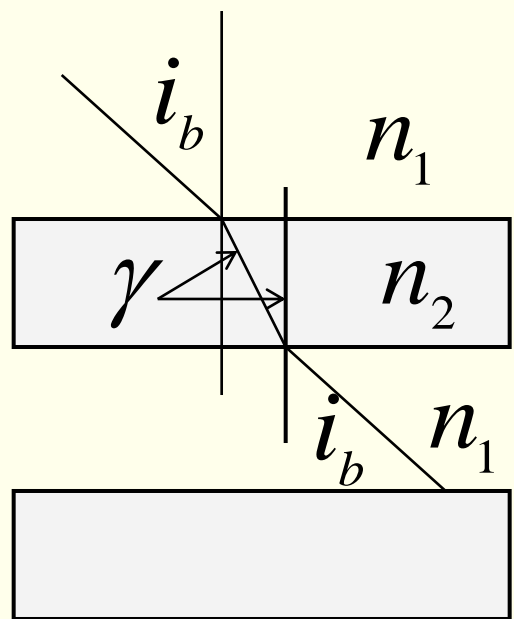
起偏角

$$n_1 \sin i_b = n_2 \sin \gamma = n_2 \sin\left(\frac{\pi}{2} - i_b\right) = n_2 \cos i_b$$

$$\therefore \tan i_b = \frac{n_2}{n_1}, i_b = \arctan\left(\frac{n_2}{n_1}\right) \text{ 布儒斯特定律 (1812年)}$$

$i_b$ : 起偏角, 或称布儒斯特角。

### 三、由折射获得偏振光



$$\tan i_b = \frac{n_2}{n_1}$$

$$\tan \gamma = \cot i_b = \frac{n_1}{n_2}$$



(接近线偏振光)

## 反射检偏（不包括圆和椭圆偏振光）

让待检验的光以布儒斯特角 $i_b$ 入射到界面上，

保持 $i = i_b$ 不变，以入射线为轴旋转界面：

- 若反射光光强不变

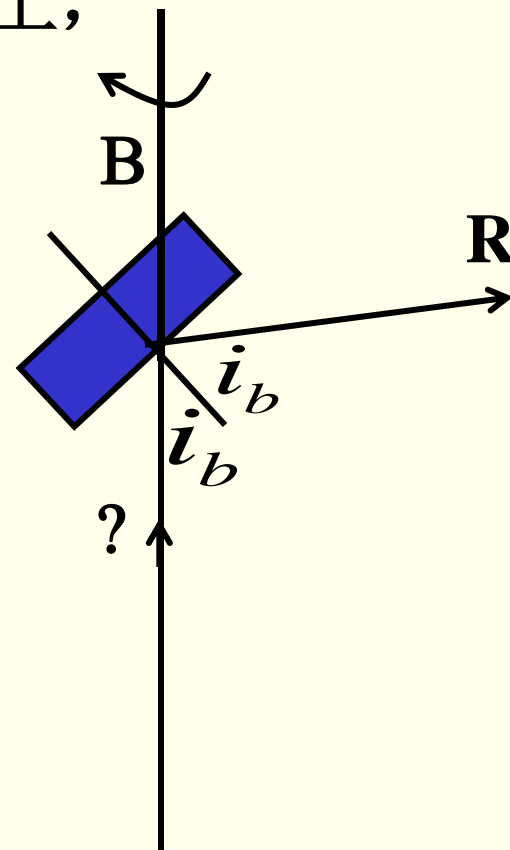
⇒ 入射光是自然光；

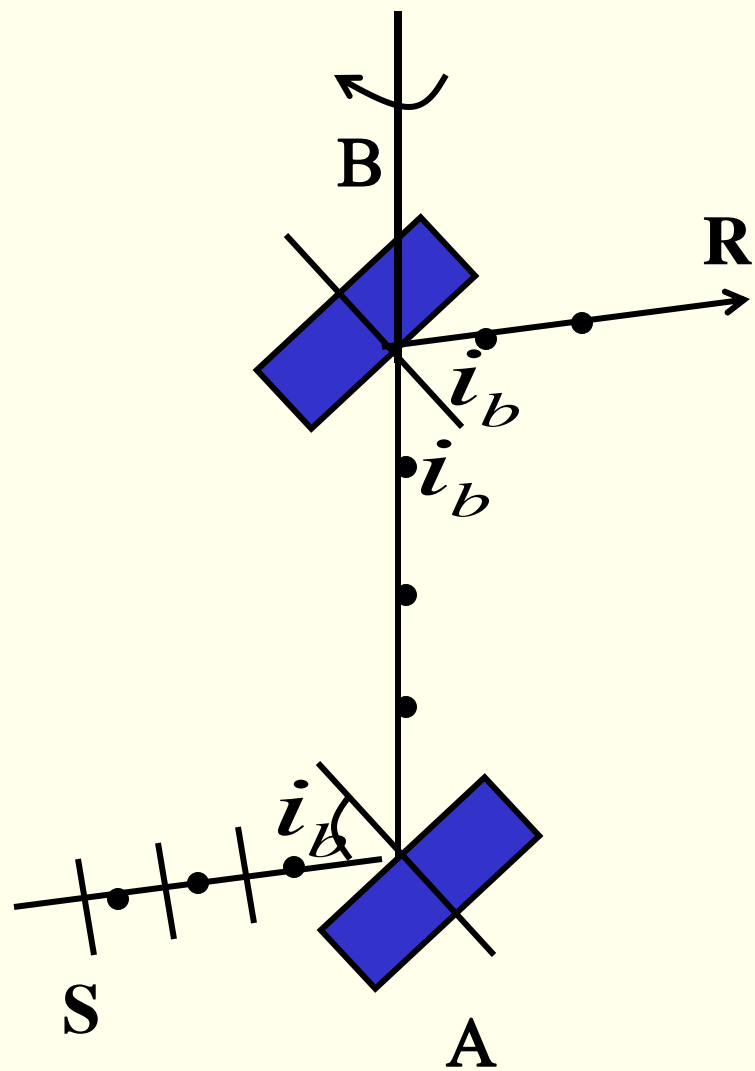
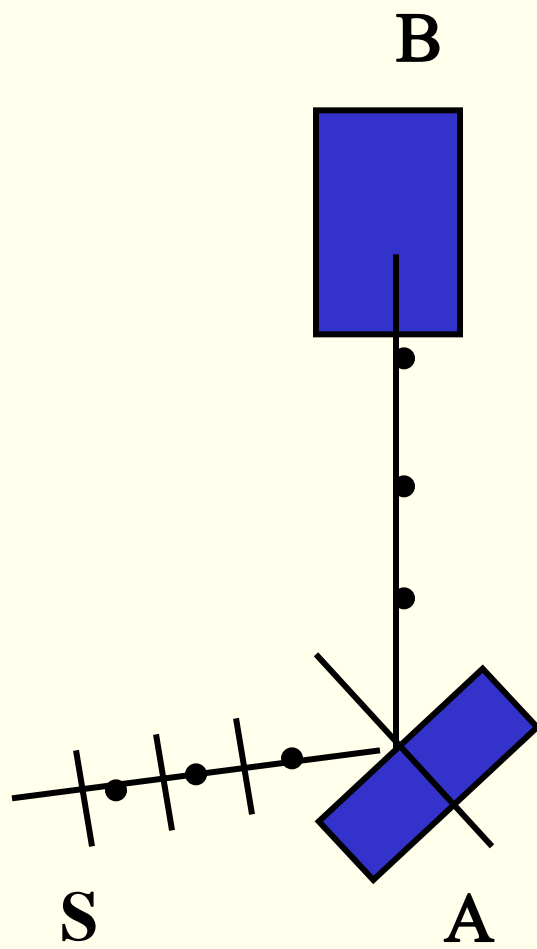
- 若反射光光强变且有消光

⇒ 入射光是线偏振光；

- 若反射光光强变且无消光

⇒ 入射光是部分偏振光。

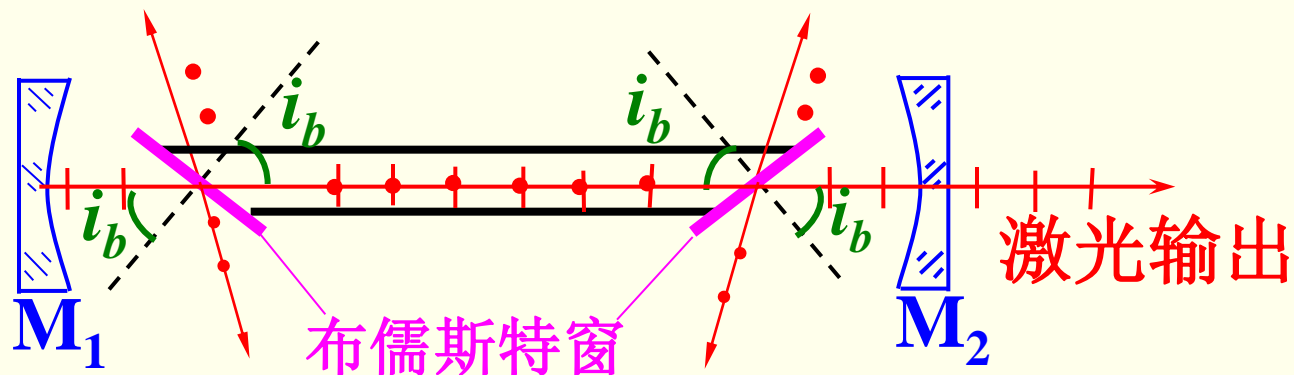






## 应用

例：外腔式激光管加布儒斯特窗减少反射损失

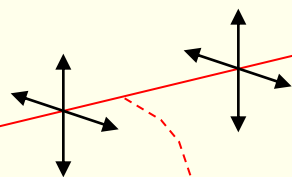
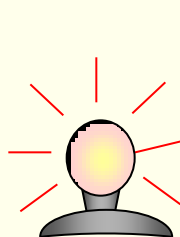
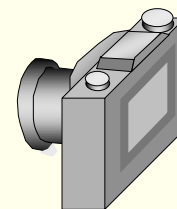
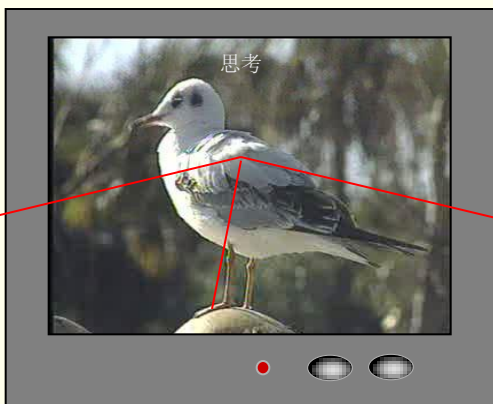
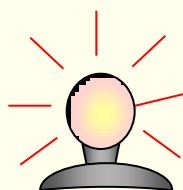


垂直分量损耗大，不能形成激光，但平行分量能形成激光。

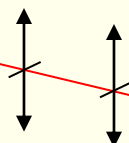
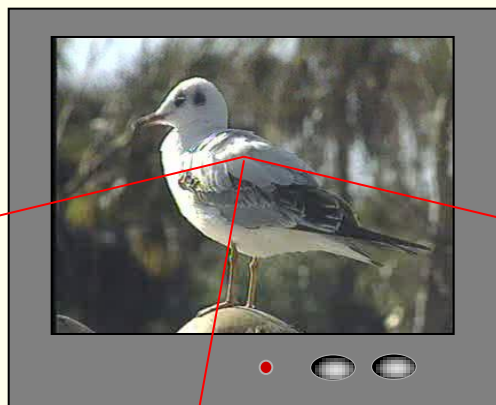
**【思考】** 如何测量不透明介质的折射率？

# 思考

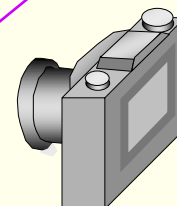
能否减弱  
反光干扰  
?



入射面



偏振化方向  
偏振片





有反射光干扰的橱窗



在照相机镜头前加偏振片消除了反射光的干扰

【例】将一介质平板放在水中, 板面与水平面的夹角为 $\theta$ , 如图。已知折射率 $n_{\text{水}}$ ,  $n_{\text{介质}}$ , 要使水面和介质面反射光均为线偏振光,  $\theta =$ \_\_\_\_\_

解: 根据布儒斯特定律

$$\tan i_1 = \frac{n_{\text{水}}}{n_{\text{空气}}}$$

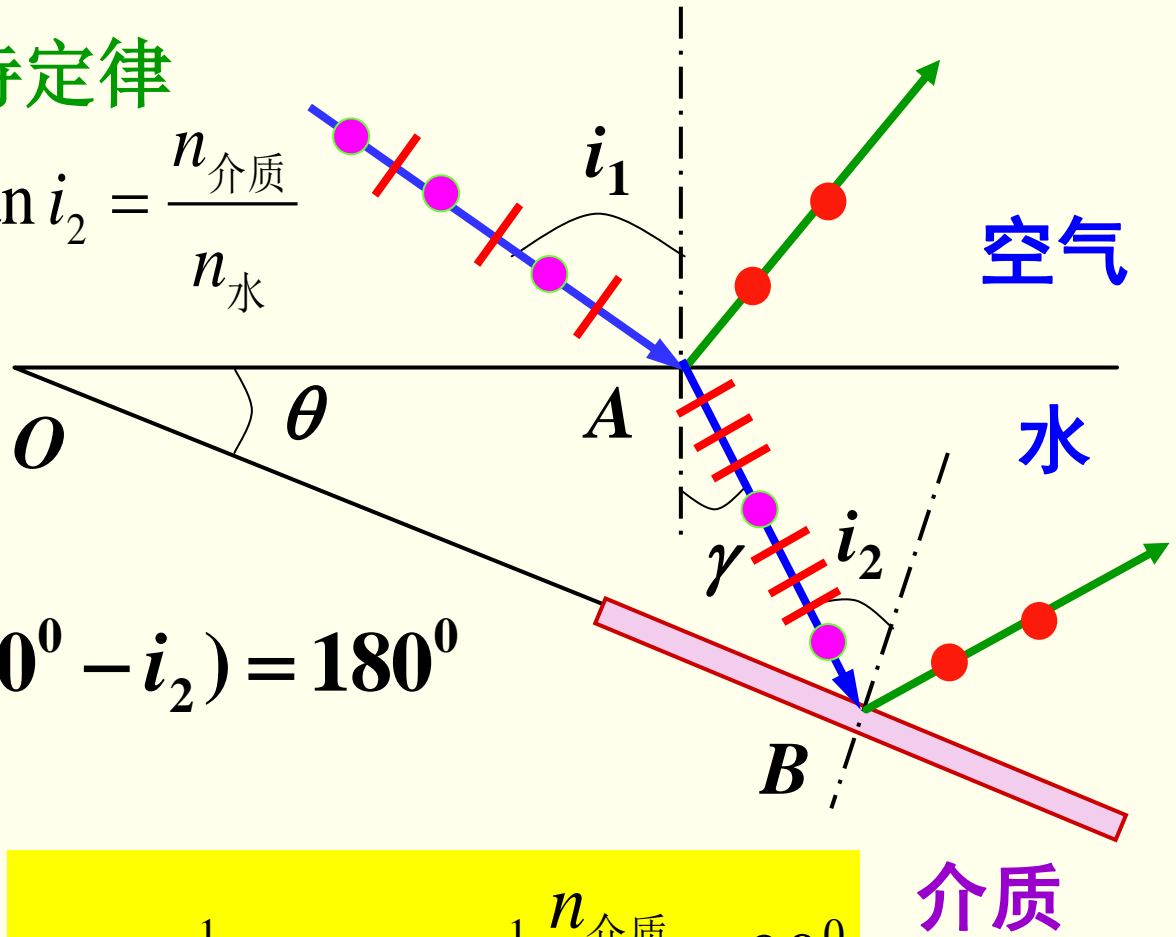
$$\tan i_2 = \frac{n_{\text{介质}}}{n_{\text{水}}}$$

由几何关系,  
 $\triangle OAB$ 中

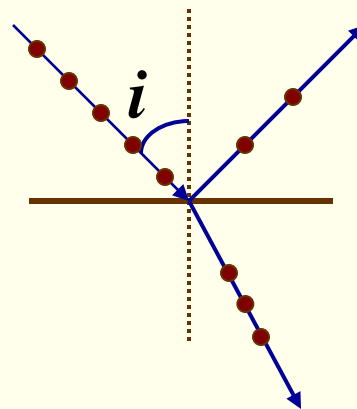
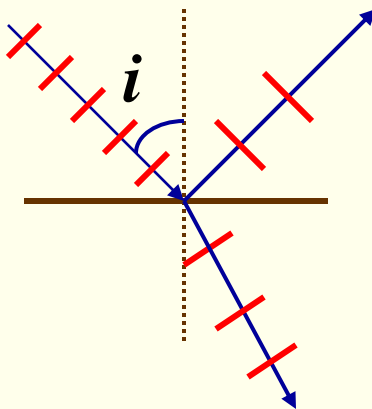
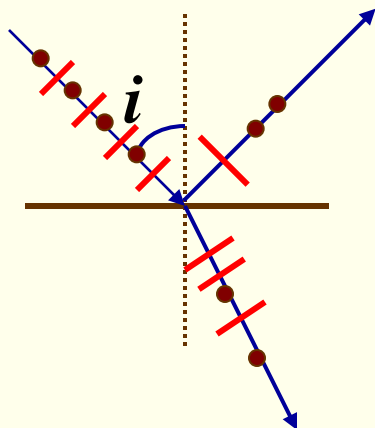
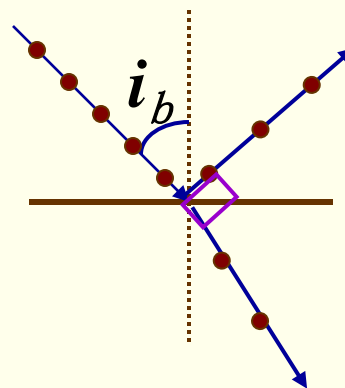
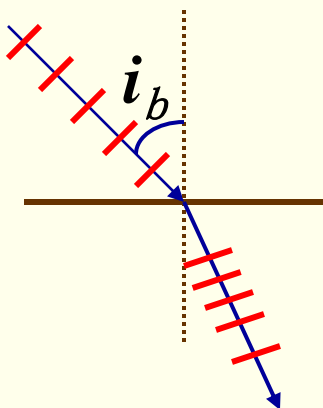
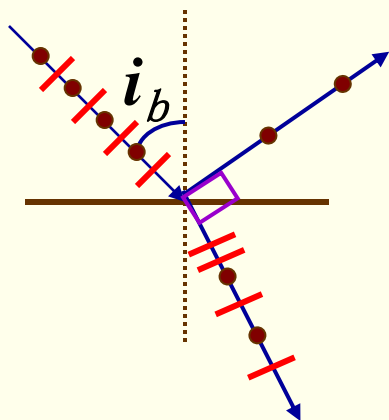
$$\theta + (90^\circ + \gamma) + (90^\circ - i_2) = 180^\circ$$

$$\therefore \gamma = 90^\circ - i_1$$

$$\therefore \theta = i_1 + i_2 - 90^\circ = \tan^{-1} n_{\text{水}} + \tan^{-1} \frac{n_{\text{介质}}}{n_{\text{水}}} - 90^\circ$$



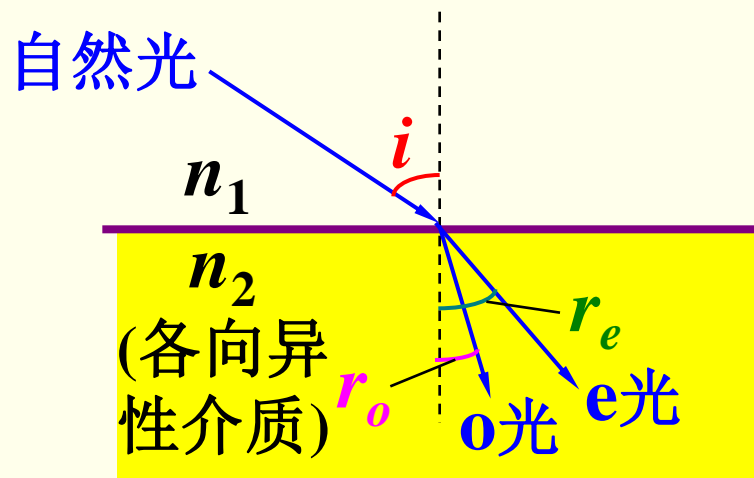
**例：**下图中折射光和反射光各属于什么性质的光？



## § 19.6 双折射 (birefringence) 与光的偏振

### 一、双折射的概念

1、双折射：一束光入射到各向异性介质时，折射光分成两束的现象。



### 2、寻常 (o) 光和非寻常 (e) 光

o光：遵从折射定律

$$n_1 \sin i = n_2 \sin r_o$$

e光：一般不遵从折射定律

$$\frac{\sin i}{\sin r_e} \neq \text{const.}$$

e光折射线也不一定在入射面内。

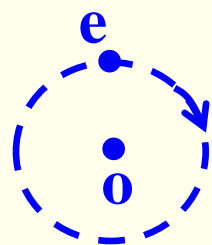
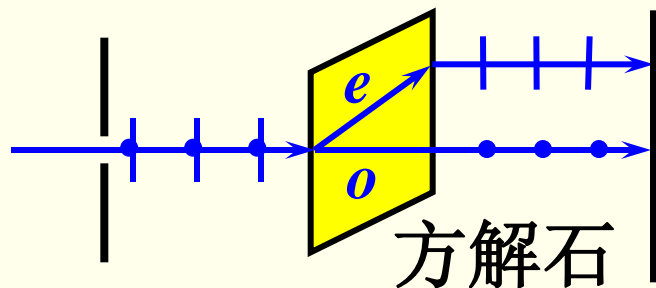


# 双折射会映射出双像

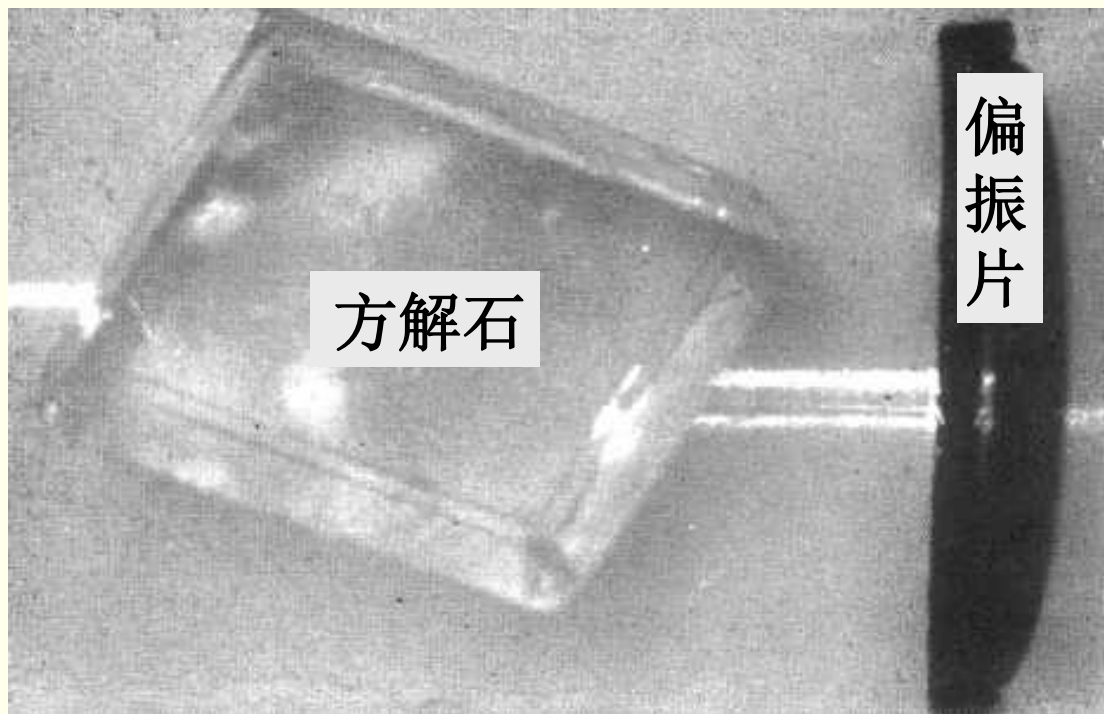




## 【演示】方解石的双折射



以入射方向为  
轴旋转方解石



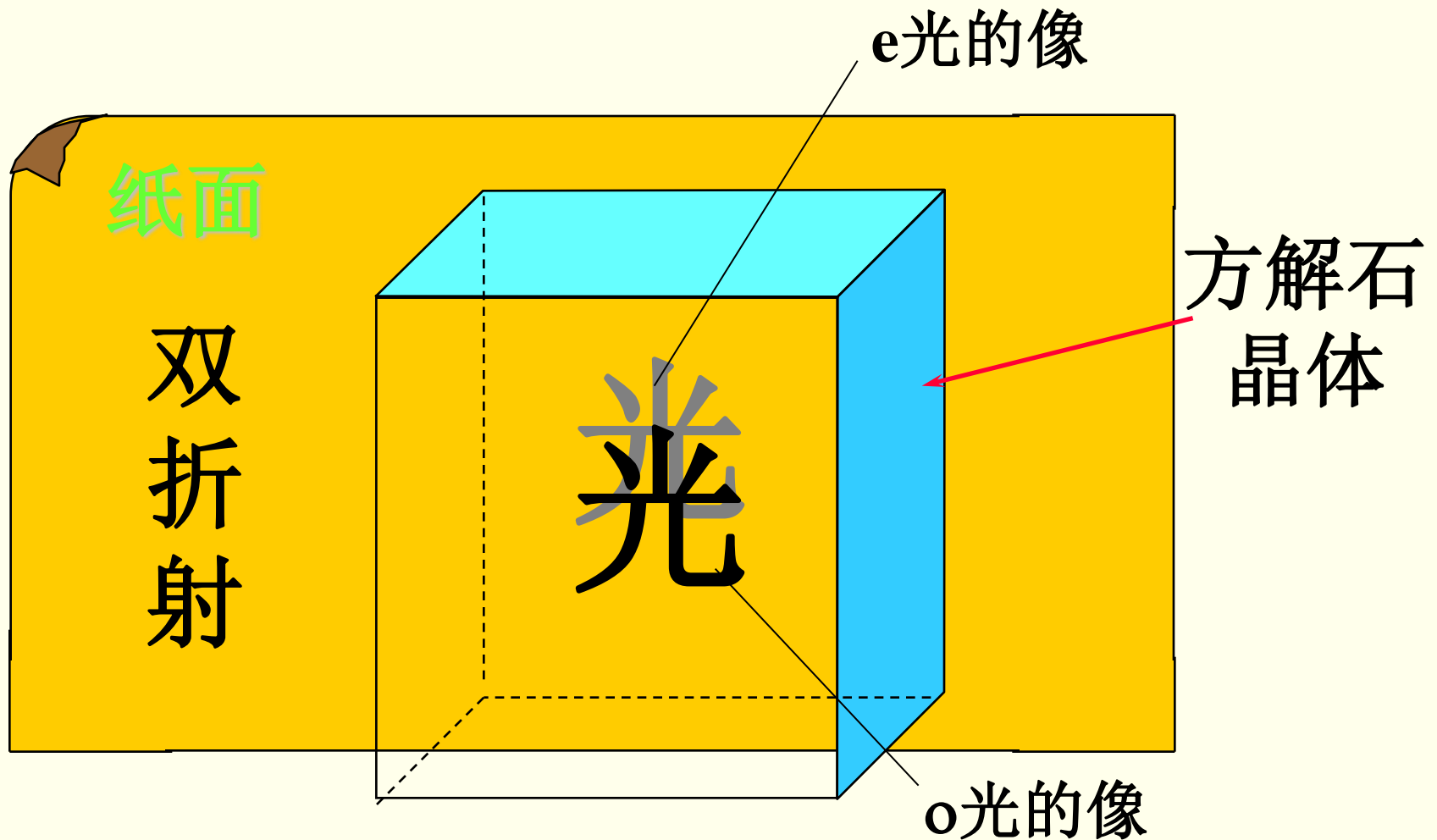
双折射的两  
束光振动方  
向相互垂直



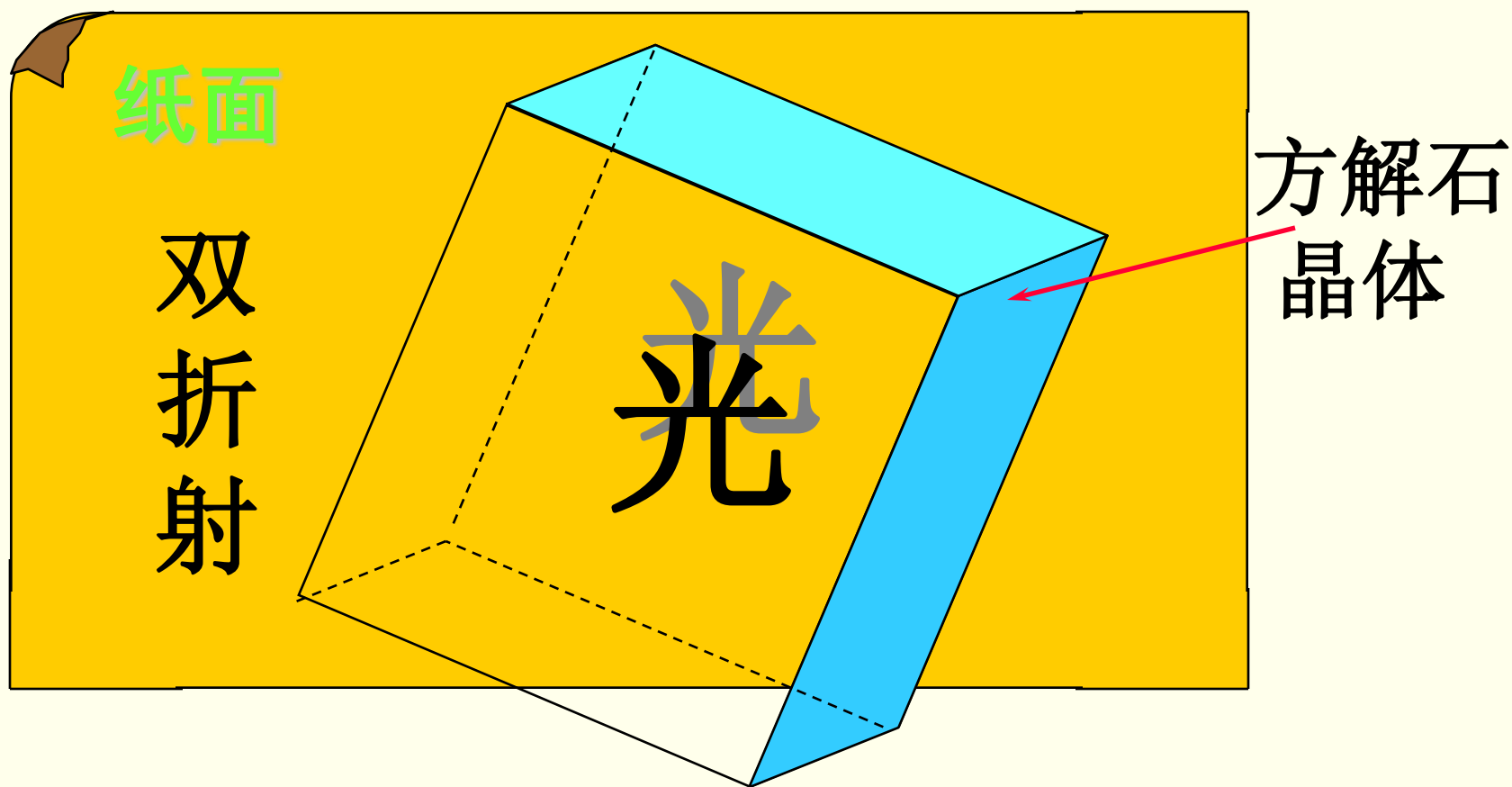
当方解石晶体旋转时，

**o 光的像不动，**

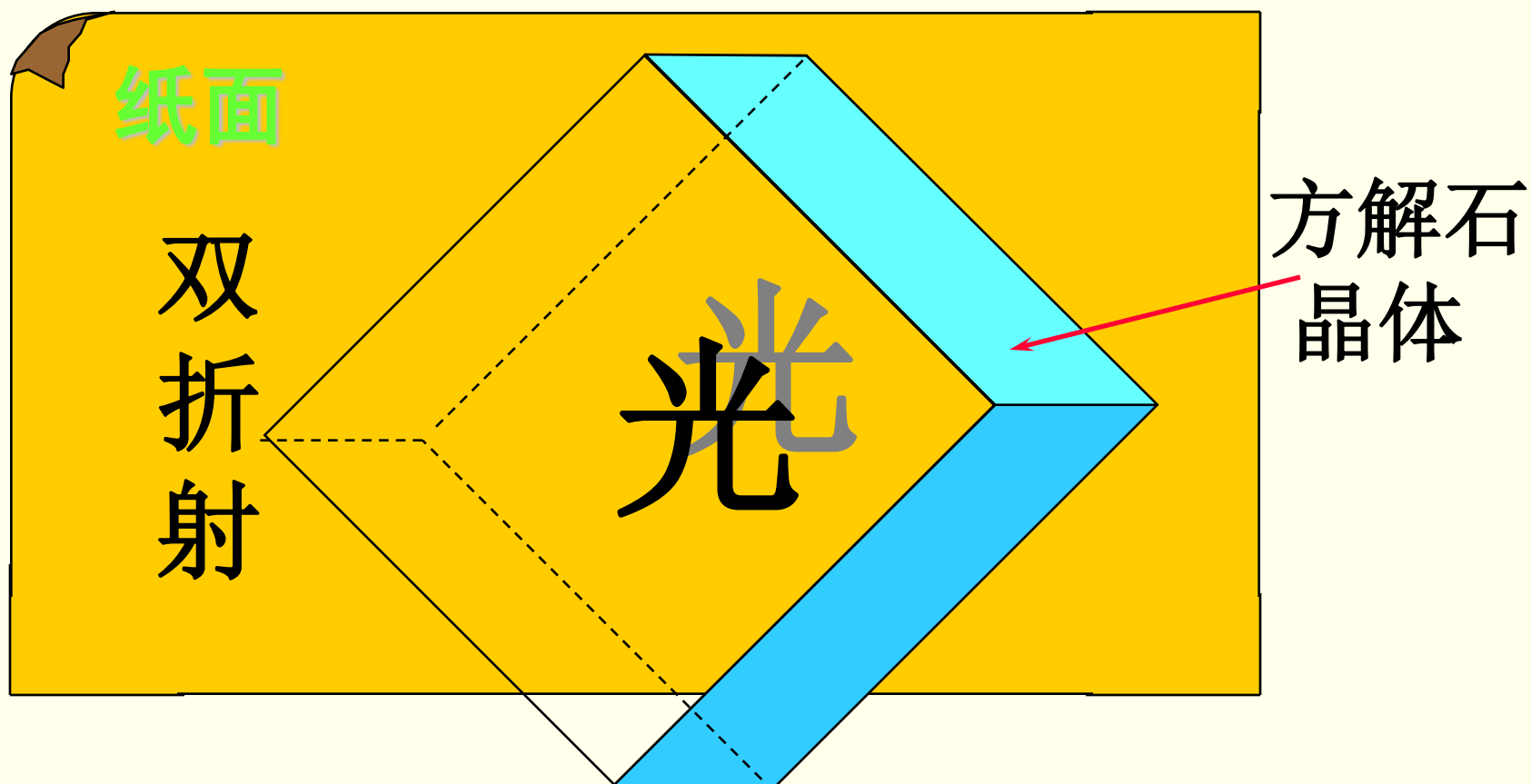
**e光的像围绕 o 光的像旋转。**



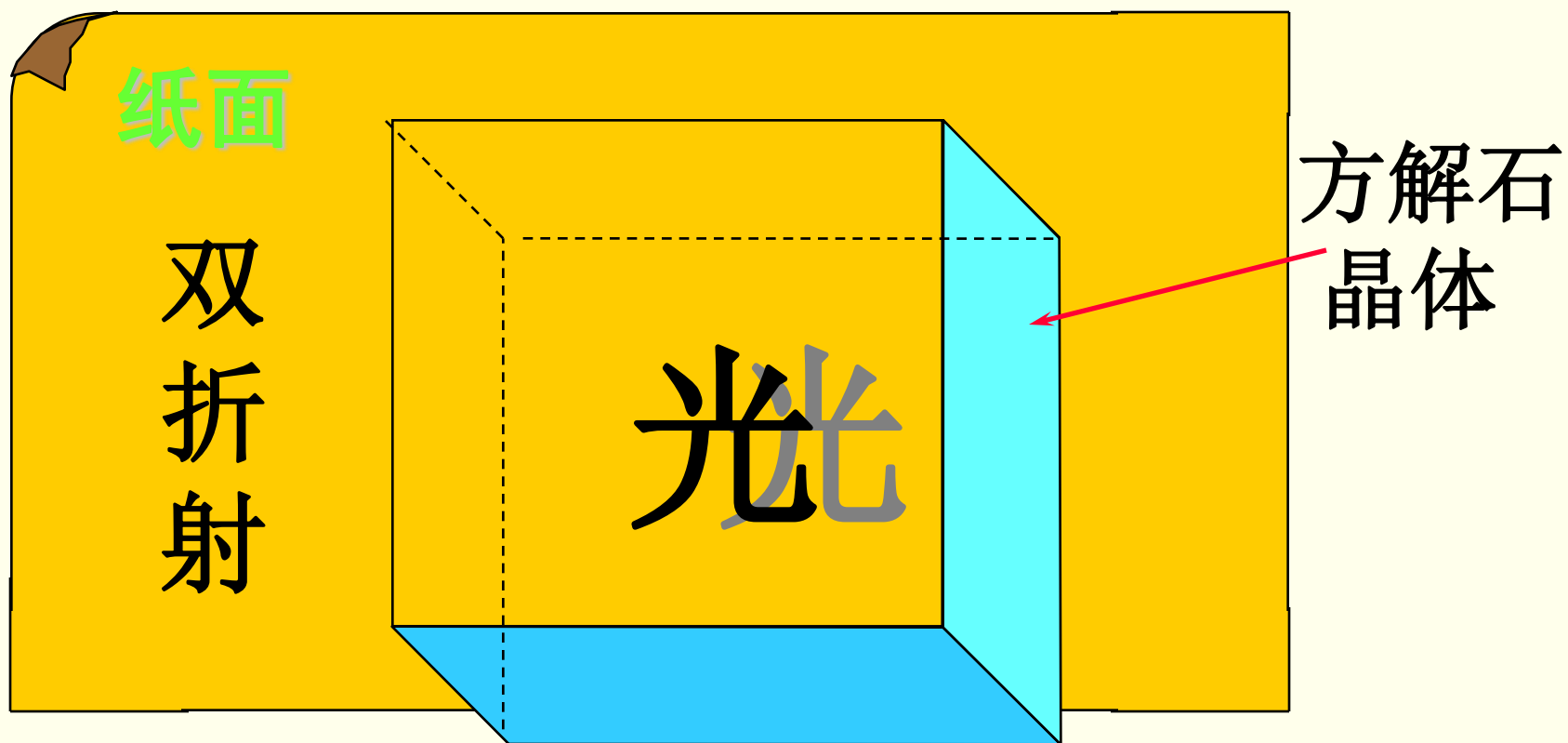
继续旋转方解石晶体：



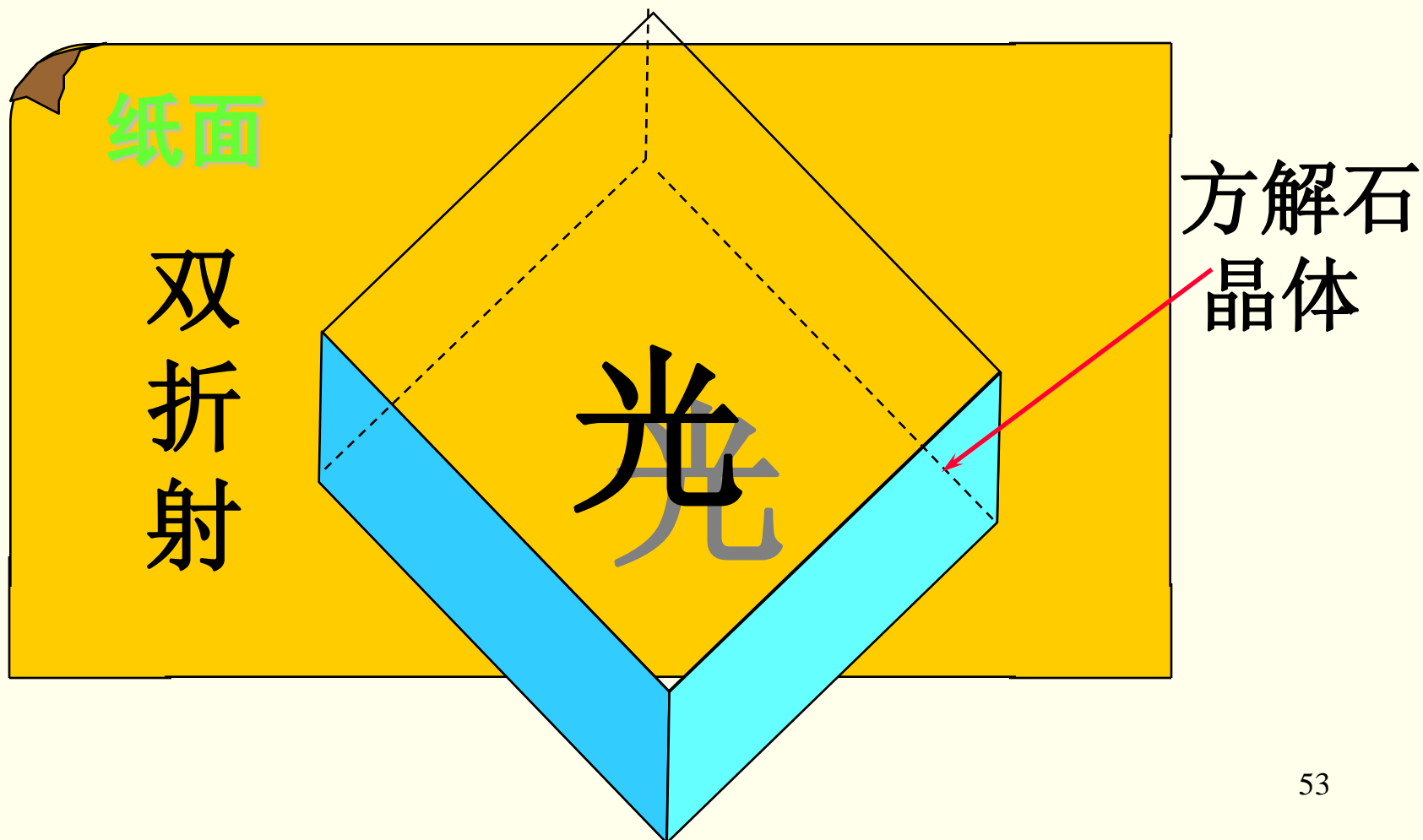
继续旋转方解石晶体：



继续旋转方解石晶体：



继续旋转方解石晶体：



### 3、晶体的光轴 (optical axis of crystal)

当光在晶体内沿某个特殊方向传播时**不发**  
**生双折射**， 该**方向**称为晶体的**光轴**。

例如，方解石晶体（冰洲石）的光轴：**由钝顶角引出**  
**的与三个棱边成等角的方向就是光轴**。



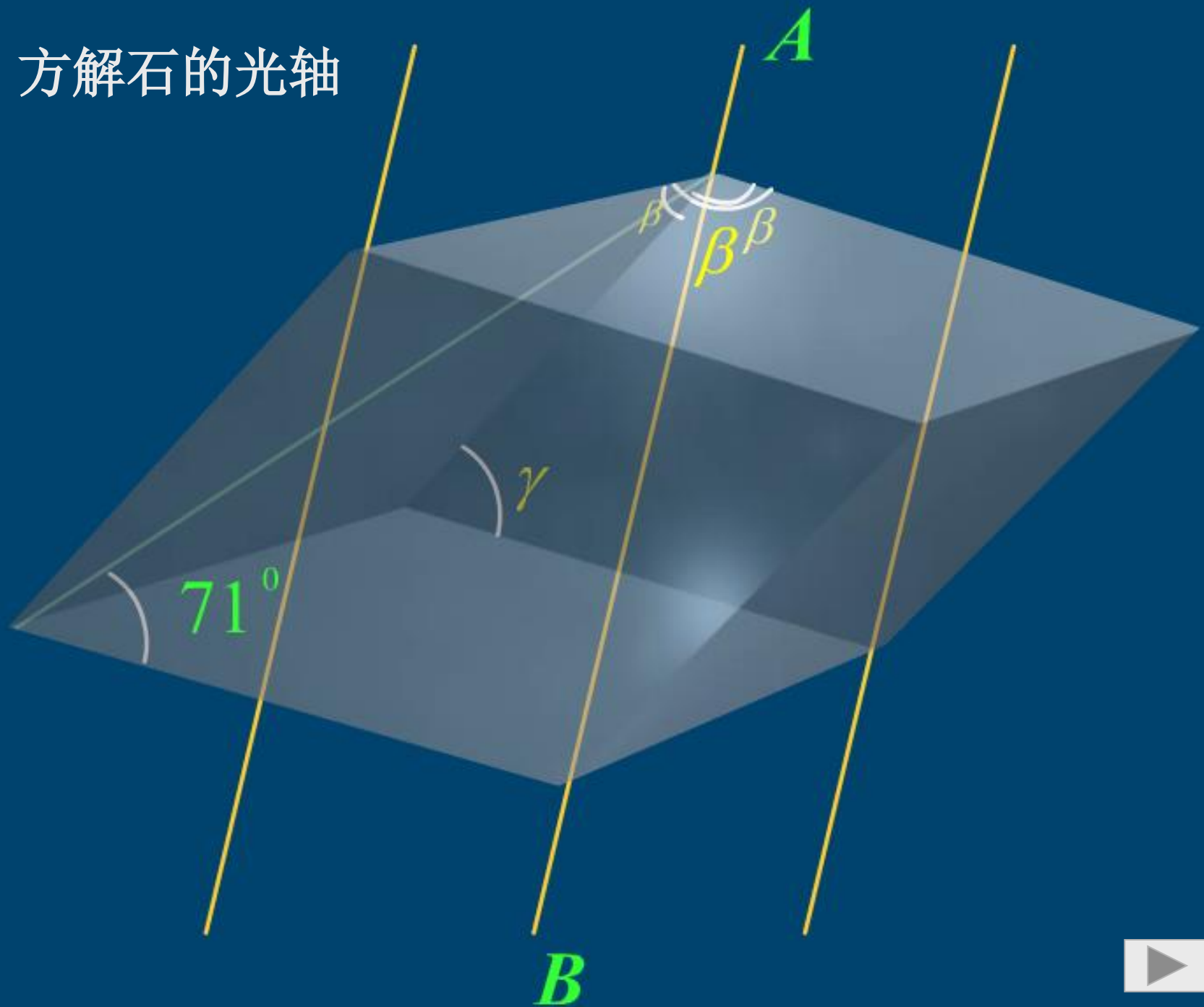
光轴是一个特殊的**方向**，**凡平行于此方向的**  
**直线均为光轴**。

**单轴晶体**：只有一个光轴的晶体，如方解石。

**双轴晶体**：有两个光轴的晶体，如云母。

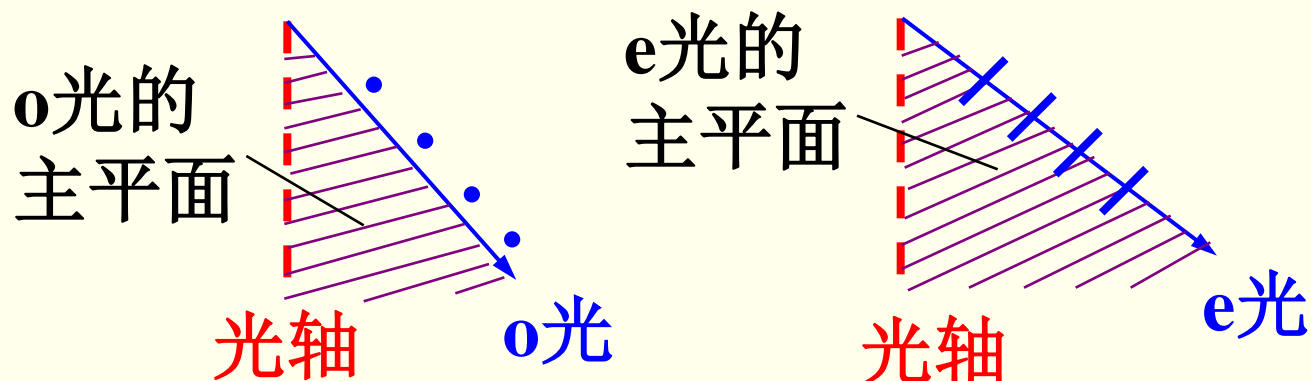


# 方解石的光轴



## 4、主平面 (principal plane)

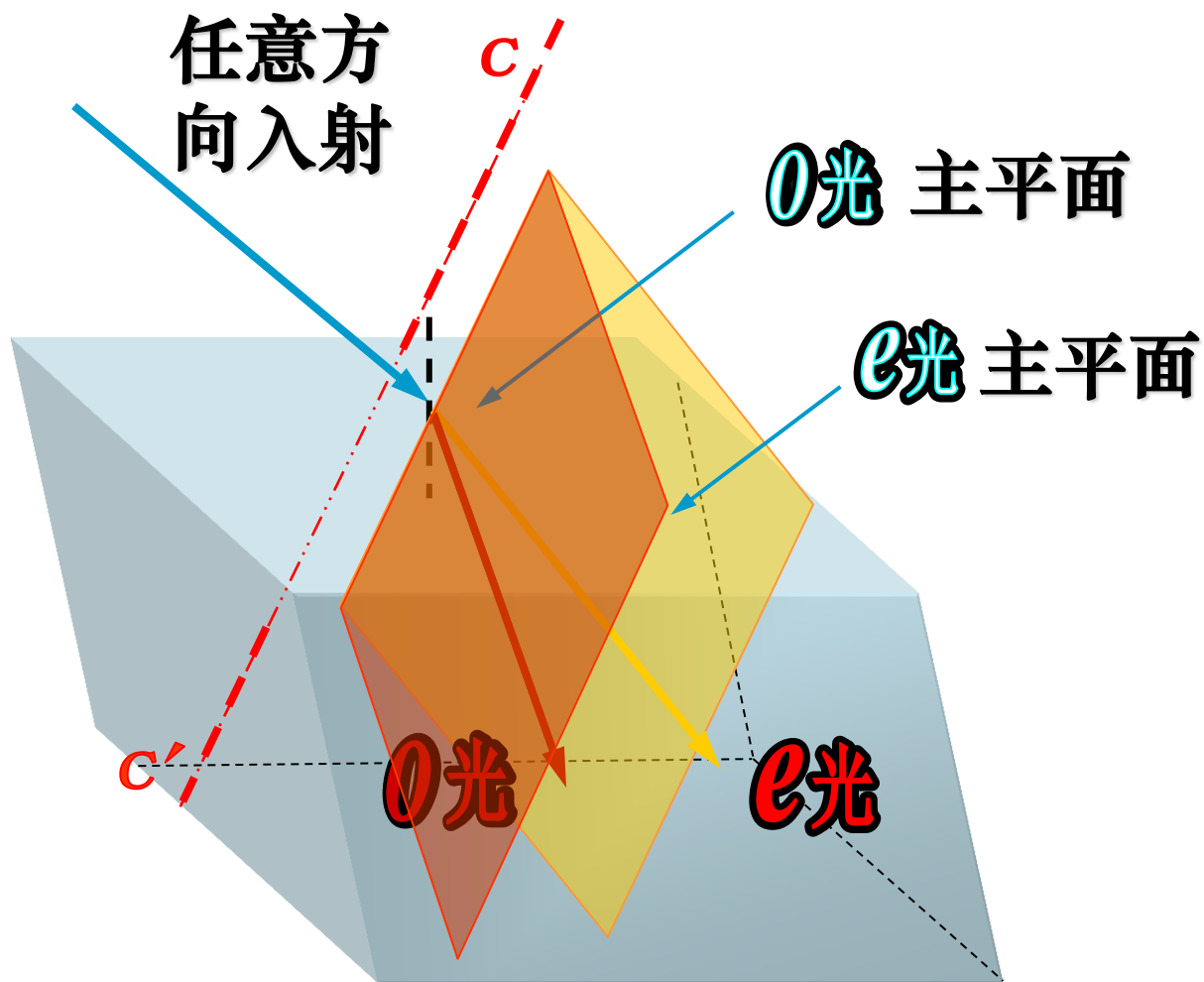
晶体中光的传播方向与晶体光轴构成的平面  
叫该束光的**主平面**。



$o$ 光光矢量  $\perp o$ 光主平面  $\perp$  光轴

$e$ 光光矢量  $// e$ 光主平面

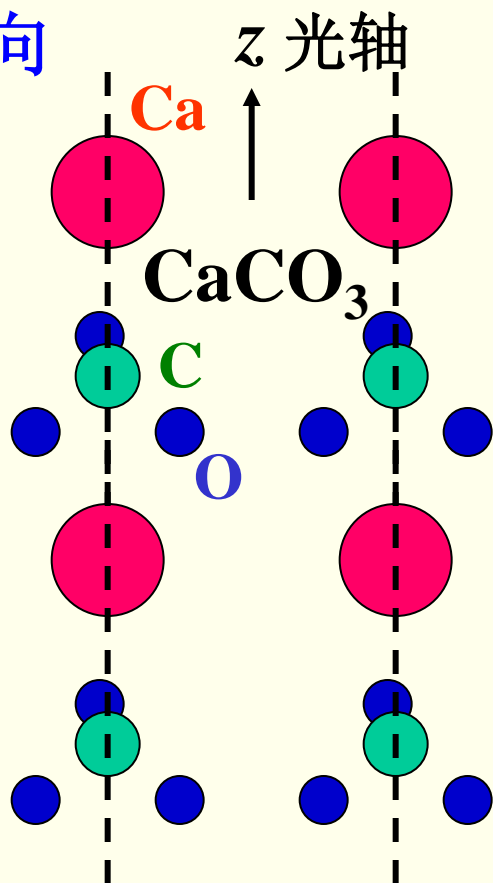




一般情况下o光和e光这两个主平面并不重合

## 二、晶体的主折射率，正晶体、负晶体

晶体的各向异性：



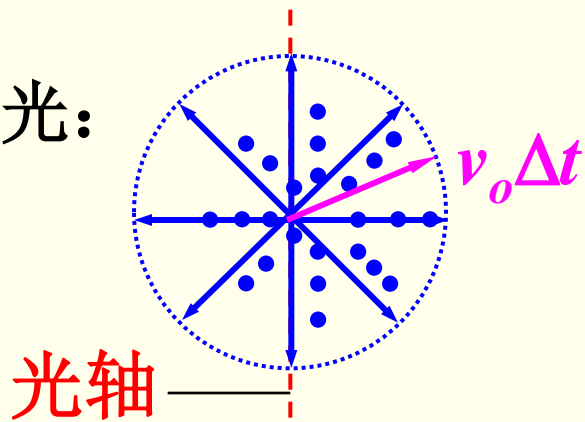
$$v = \frac{1}{\sqrt{\epsilon\mu}} \propto \frac{1}{\sqrt{\epsilon}}$$

光矢量振动方向与晶体光轴的夹角不同，介电常数就不同，光的传播速度也就不同。

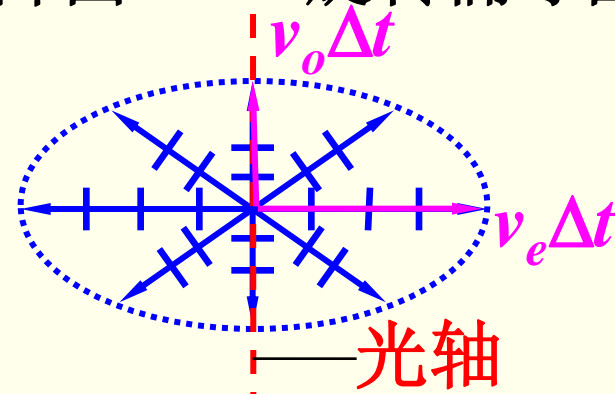
o光的波阵面 —— 球面

e光的波阵面 —— 旋转椭球面

**O光:**



**e光:**



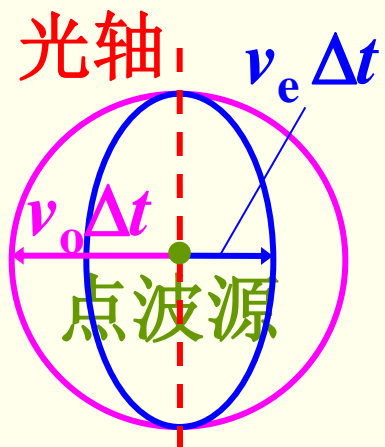
$$n_o = \frac{c}{v_o}$$

$n_e$  称为e光主折射率  
(普通折射定律不成立)

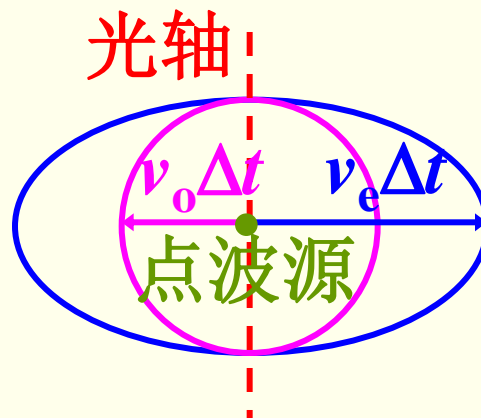
$$v_e \rightarrow n_e = \frac{c}{v_e}$$

正晶体:  $n_e > n_o$  ( $v_e < v_o$ )

负晶体:  $n_e < n_o$  ( $v_e > v_o$ )



如: 石英、冰

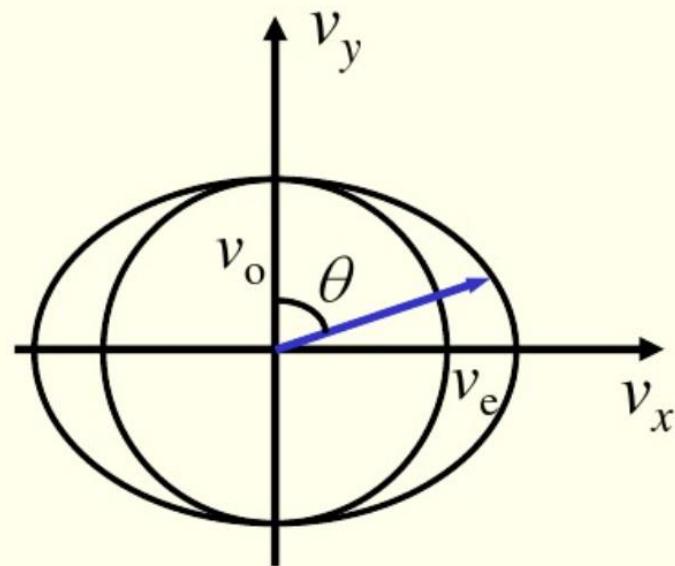


如: 方解石、红宝石

**例：**在主折射率为 $n_o$ ， $n_e$ 的单轴晶体中，一束e光沿与光轴夹角为 $\theta$ 的方向传播，求其传播速度。

**解：**在速度平面内画o光和e光的波阵面，设光轴沿 $v_y$ 方向，则

$$\frac{v_x^2}{v_e^2} + \frac{v_y^2}{v_o^2} = 1 \quad \begin{aligned} v_x &= v \sin \theta \\ v_y &= v \cos \theta \end{aligned}$$



$$v_e = \frac{c}{n_e} \quad v_o = \frac{c}{n_o} \quad \therefore \frac{n_e^2 v^2 \sin^2 \theta}{c^2} + \frac{n_o^2 v^2 \cos^2 \theta}{c^2} = 1$$

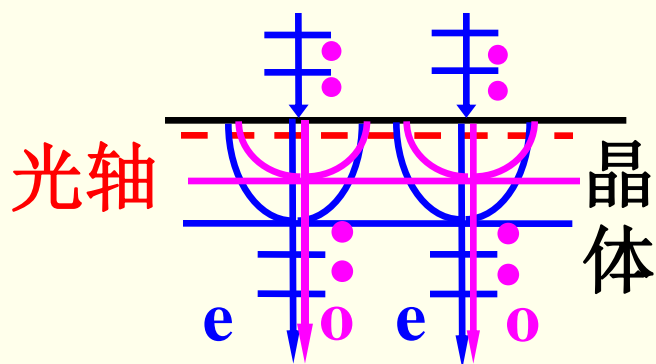
由此解得 
$$v = \frac{c}{\sqrt{n_e^2 \sin^2 \theta + n_o^2 \cos^2 \theta}}$$

### 三、单轴晶体中光传播的惠更斯作图法

以惠更斯原理为依据的惠更斯作图法，  
是研究光在晶体中传播的重要方法。

下面以负晶体( $v_e > v_o$ )为例，介绍该方法：

#### 1、光轴平行晶体表面，自然光垂直入射



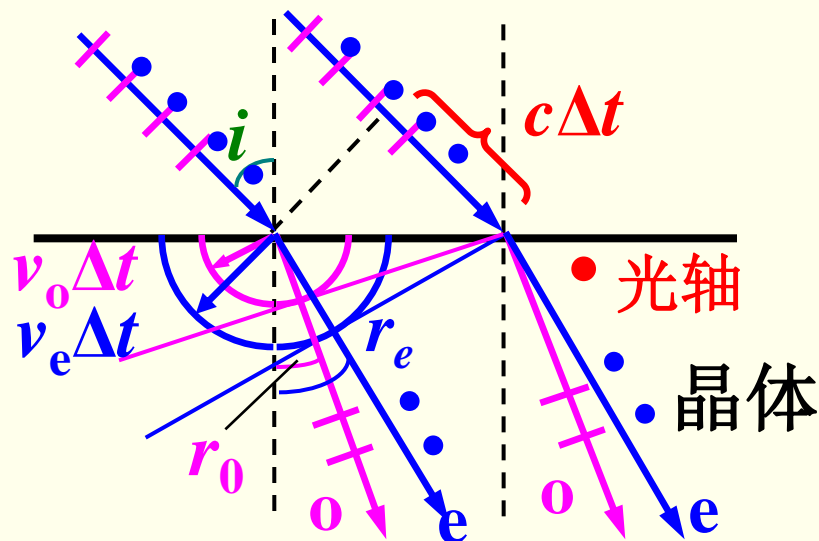
o、e方向上虽没分开，  
但速度上是分开的，  
这仍是双折射。

## 2、光轴平行晶体表面，且垂直入射面，

自然光斜入射

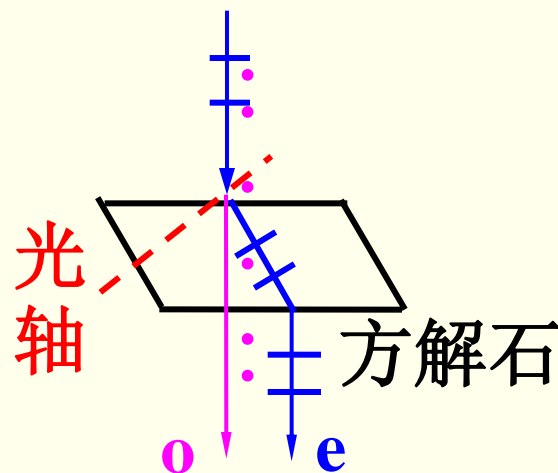
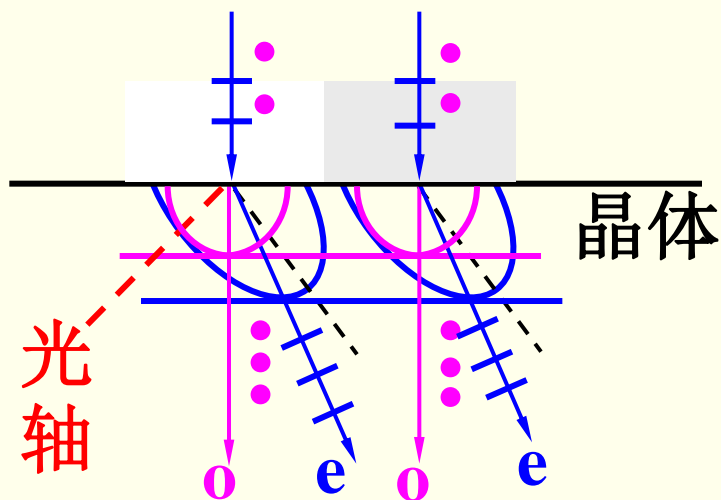
$$\frac{\sin i}{\sin \gamma_o} = \frac{c}{v_o} = n_o$$

$$\frac{\sin i}{\sin \gamma_e} = \frac{c}{v_e} = n_e$$



在这种情况下，e 光也满足折射定律。

### 3、光轴与晶体表面斜交，自然光垂直入射



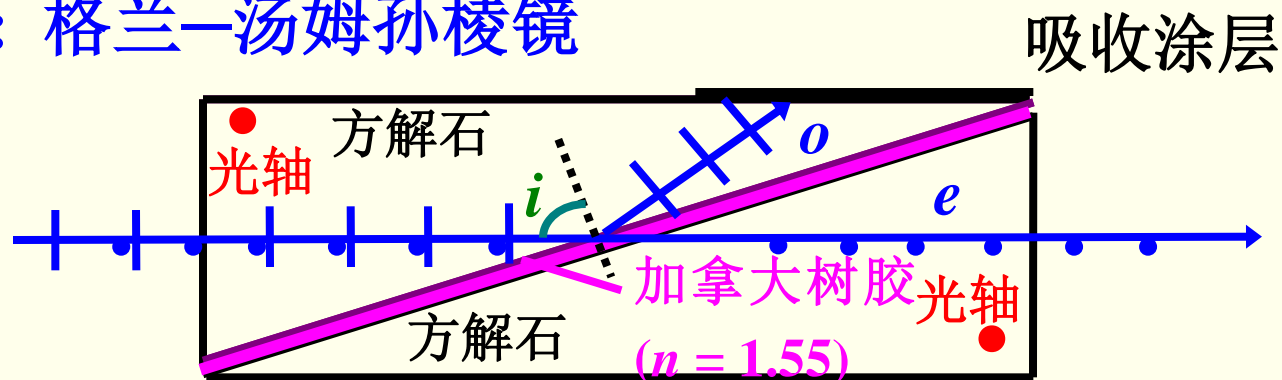
这正是前面演示的情形。

此时**e**光的波面不再与其波射线垂直了。

## 四. 偏振棱镜

偏振棱镜可由自然光获得高质量的线偏振光。

偏光镜：格兰—汤姆孙棱镜

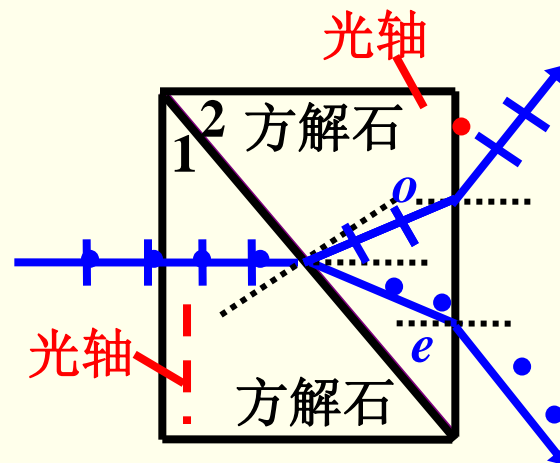


光轴的取向使 $o$ 光、 $e$ 光对应的恰是 $n_o$ 、 $n_e$ 。

$$n_o(1.6584) > n(1.55) > n_e(1.4864)$$

偏光分束镜：沃拉斯顿棱镜

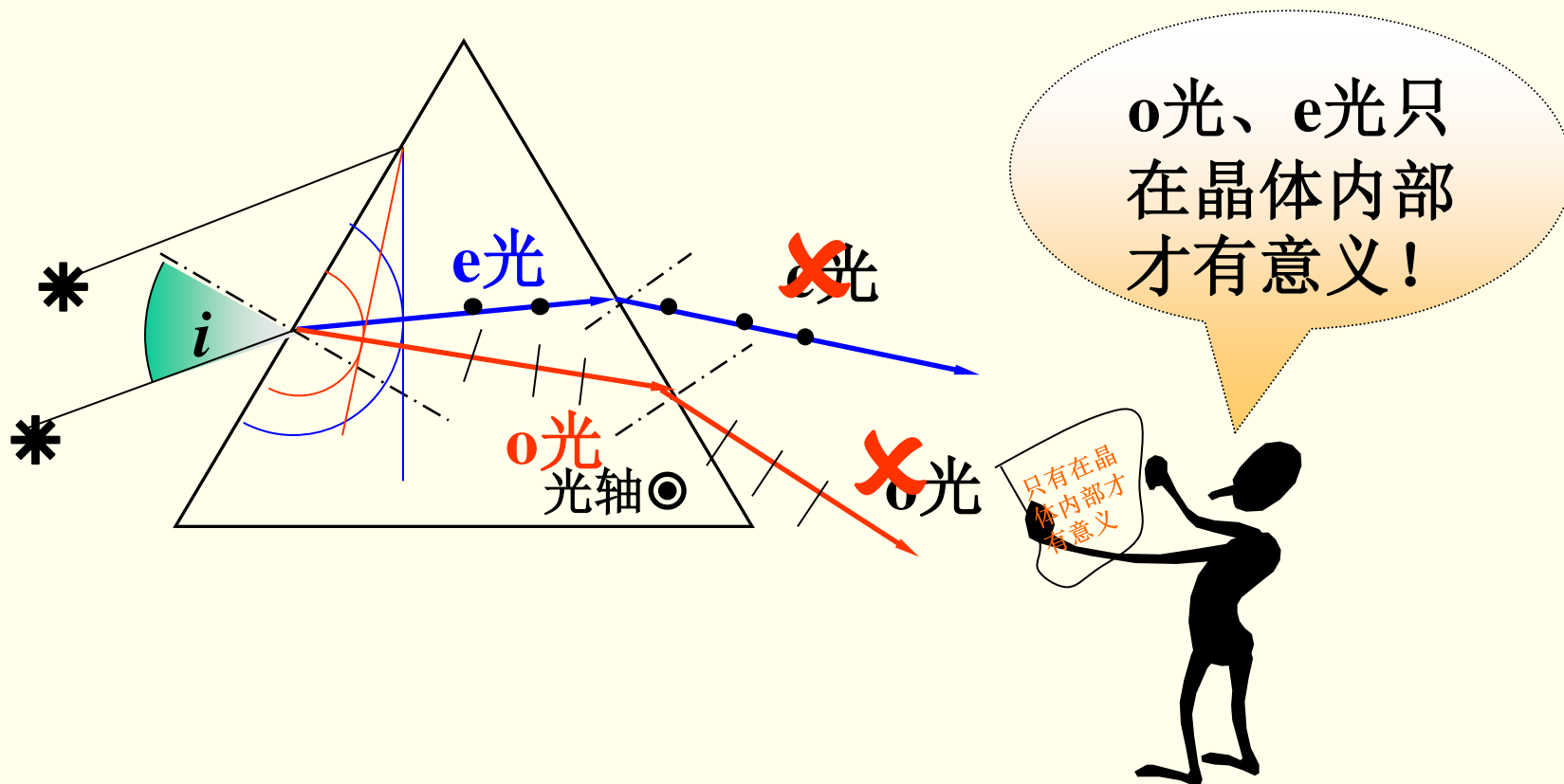
方解石  $n_o > n_e$





**例** 用方解石切割成正三角形截面的棱镜，自然光以 $i$ 角入射，定性画出o光、e光的振动方向和传播方向。

**解** 方解石为负晶体，则在垂直于光轴的方向上 $v_e > v_o$



## 19-7 光程 波片 偏振光的检验

### 一、光程

媒质中:  $V = \frac{c}{n}$        $\lambda' = \frac{V}{\nu} = \frac{c}{n\nu} = \frac{\lambda}{n}$

$$\lambda' \leftrightarrow 2\pi$$

$$x \leftrightarrow \Delta\varphi$$

$$\Rightarrow \Delta\varphi = 2\pi \frac{x}{\lambda'} = 2\pi \frac{nx}{\lambda}$$

$nx$ : 光程

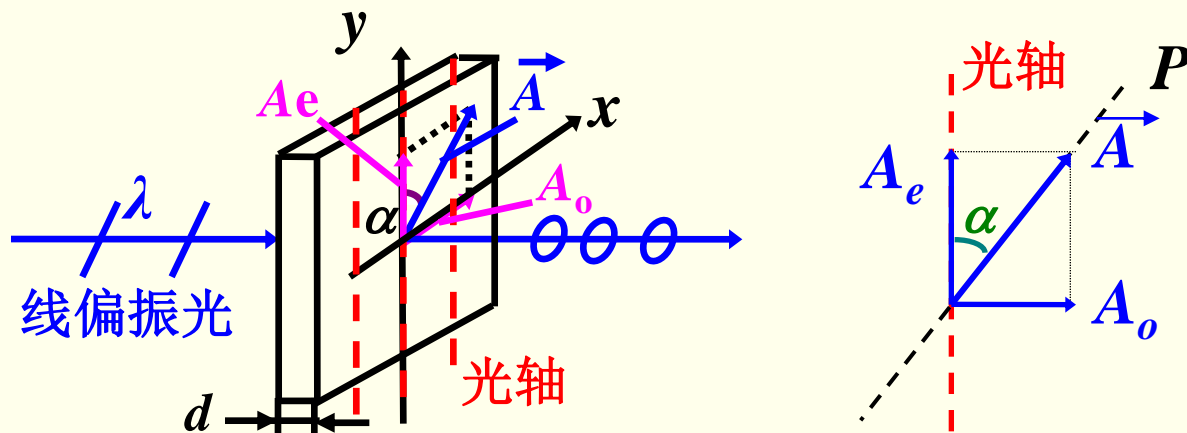
经过一定厚度 $d$ 的**双折射晶片**（光轴平行表面）

e光与o光就产生光程差

$$\Delta = |n_o d - n_e d|$$

对应的位相差

$$|\Delta\varphi| = \frac{2\pi}{\lambda} \Delta = \frac{2\pi}{\lambda} |n_o d - n_e d|$$



晶片是光轴平行表面的晶体薄片。

$o$ 、 $e$ 光振幅关系

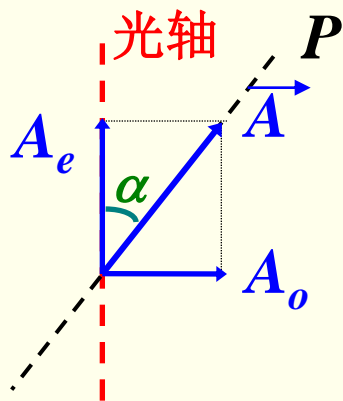
$$A_o = A \sin \alpha$$

$$A_e = A \cos \alpha$$

通过厚为 $d$ 的晶片， $o$ 、 $e$ 光产生相位差：

$$|\Delta \varphi| = ?$$

$$|\Delta \varphi| = |n_e - n_o| \cdot d \cdot \frac{2\pi}{\lambda}$$



$$A_o = A \sin \alpha$$

$$A_e = A \cos \alpha$$

$$|\Delta\varphi| = \frac{2\pi}{\lambda} \Delta = \frac{2\pi}{\lambda} |n_o d - n_e d|$$

## 二. 波（晶）片

### (1) 四分之一波片

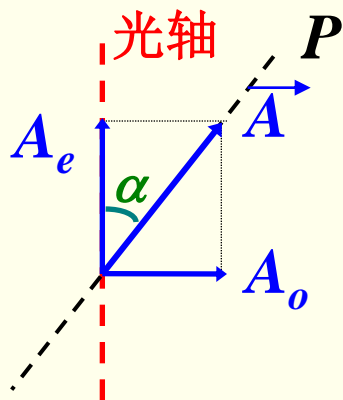
$$|n_e - n_o| \cdot d = \frac{\lambda}{4} \rightarrow |\Delta\varphi| = \frac{\pi}{2}$$

从线偏振光获得椭圆或圆偏振光（或相反）

$$\alpha = \frac{\pi}{4} \quad \text{—— 线偏振光} \rightarrow \text{圆偏振光}$$

$$\alpha = 0, \frac{\pi}{2} \quad \text{—— 线偏振光} \rightarrow \text{线偏振光}$$

$$\alpha \neq 0, \frac{\pi}{4}, \frac{\pi}{2} \quad \text{—— 线偏振光} \rightarrow \text{椭圆偏振光}$$



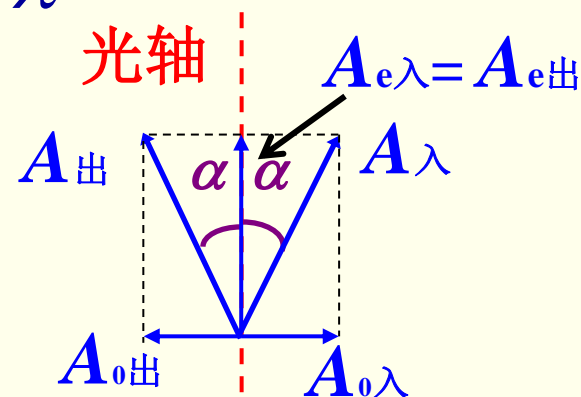
$$A_o = A \sin \alpha$$

$$A_e = A \cos \alpha$$

$$|\Delta\varphi| = \frac{2\pi}{\lambda} \Delta = \frac{2\pi}{\lambda} |n_o d - n_e d|$$

## (2) 二分之一波片

$$|n_e - n_o| \cdot d = \frac{\lambda}{2} \rightarrow |\Delta\varphi| = \pi$$

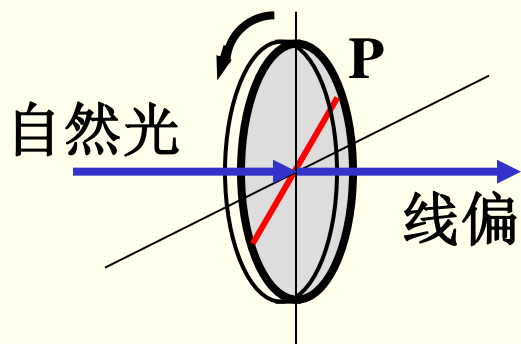


使线偏振光振动面转过  $2\alpha$  角度

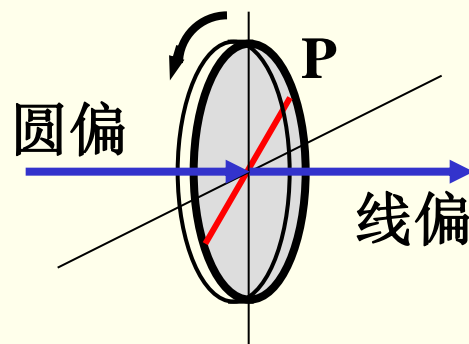
## (3) 全波片

$$|n_e - n_o| \cdot d = \lambda \rightarrow |\Delta\varphi| = 2\pi$$

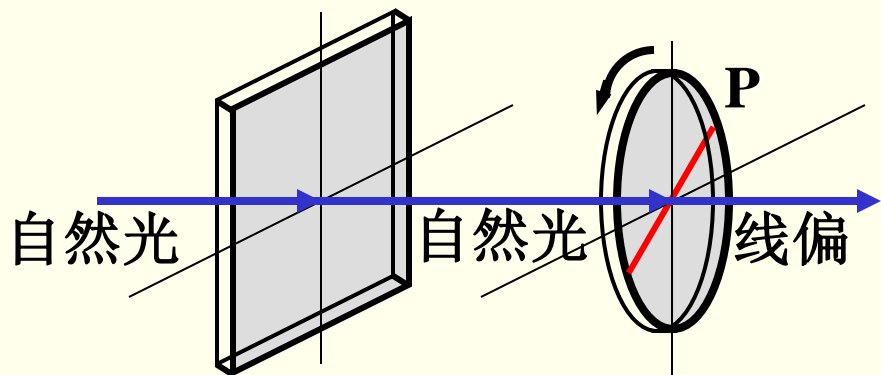
### 三、偏振光和自然光的区别、检验



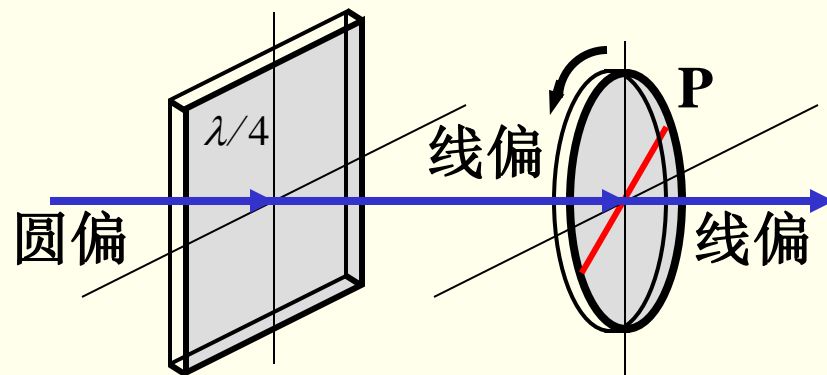
转动偏振片，光强**无变化**



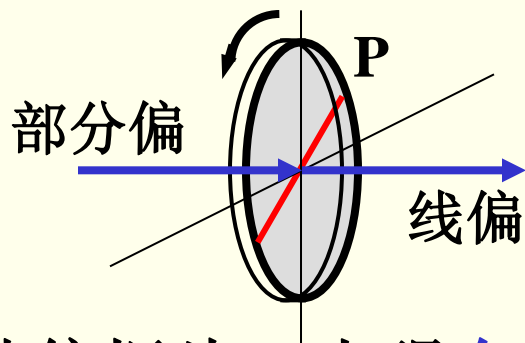
转动偏振片，光强**无变化**



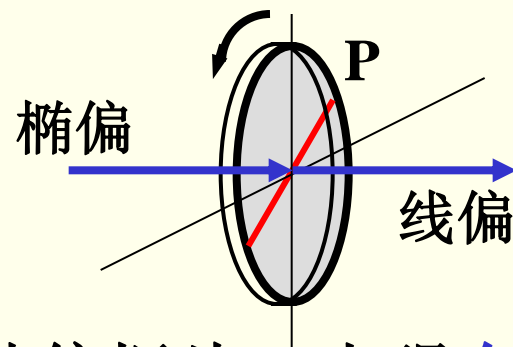
转动偏振片，光强**无变化**



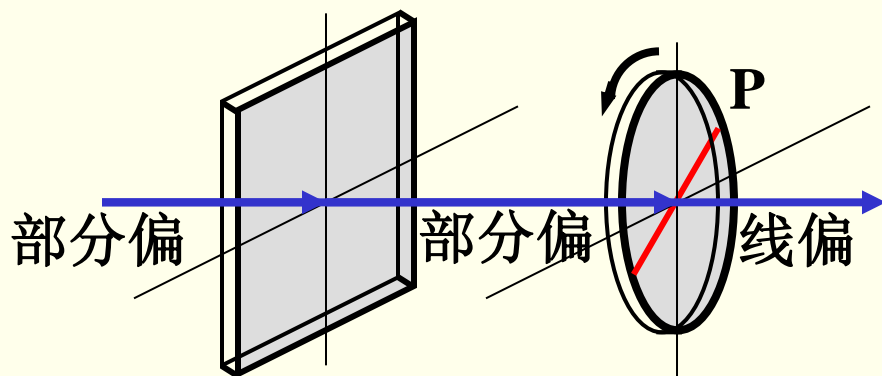
转动偏振片，光强**有变化**，  
且存在**消光**位置。



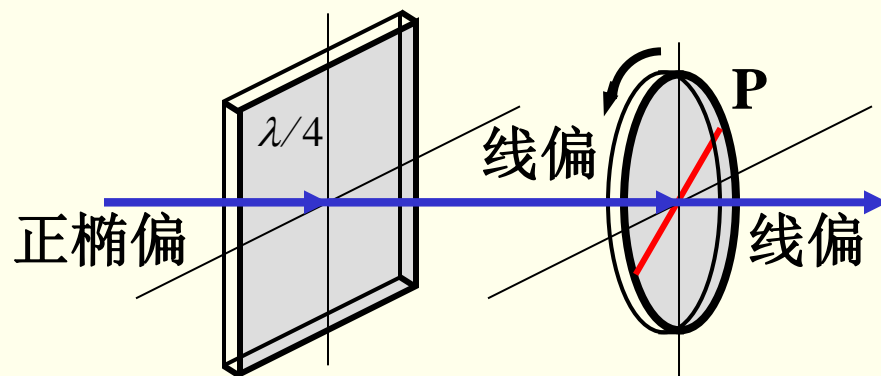
转动偏振片，光强**有变化**，  
不存在**消光位置**



转动偏振片，光强**有变化**，  
不存在**消光位置**



转动偏振片，光强**有变化**，  
不存在**消光位置**



转动偏振片，光强**有变化**，  
存在**消光位置**。

一般情况下，椭圆偏振光通过四分之一波片后仍为椭圆偏振光，无法通过旋转偏振片的方法区别于部分偏振光。



例：在两个偏振化方向相同的偏振片之间平行地插入一厚度 $d = 0.01\text{mm}$ 的波片，其光轴方向与偏振化方向之间夹角为 $\pi/4$ 。以白光入射，出射光中缺少哪些波长的光？（设对于可见光范围的所有波长有 $n_o - n_e = 0.172$ ）

解：入射光经第一块偏振片 $P_1$ 后为线偏振光，若对于某一波长，波片恰为半波片，则经过该波片后此波长的光将不能透过第二块偏振片 $P_2$ 。

$$\text{由 } \frac{2\pi}{\lambda}(n_o - n_e)d = (2k + 1)\pi \text{ 式中 } k = 0, 1, 2, 3, \dots$$

$$\therefore \lambda = \frac{2(n_o - n_e)}{2k + 1}d = \frac{34.4 \times 10^{-7}}{2k + 1} \text{ m}$$

以 $k = 2、3$ 代入，即得： $\lambda = 688\text{nm}, 491.4\text{nm}$